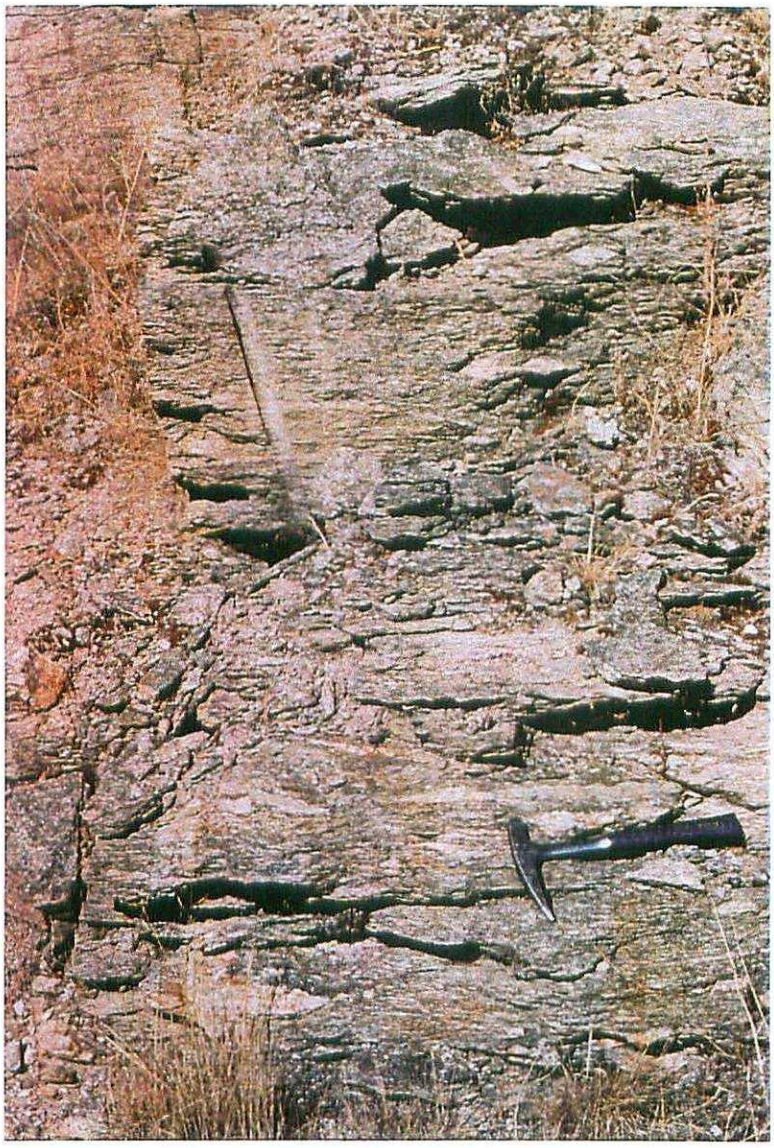


Foto 1. Octoneis de S. Pelayo en las proximidades de Cuatro Calzadas. Es muy evidente la esquistosidad S_2.



Foto 2. Granitos y leucogranitos de dos micas de Martinamor (con un dique pegmatítico asociado) en contacto con esquistos de la F. Monterrubio y todo ello afectado por una intensa D_2. NE de Buenavista.

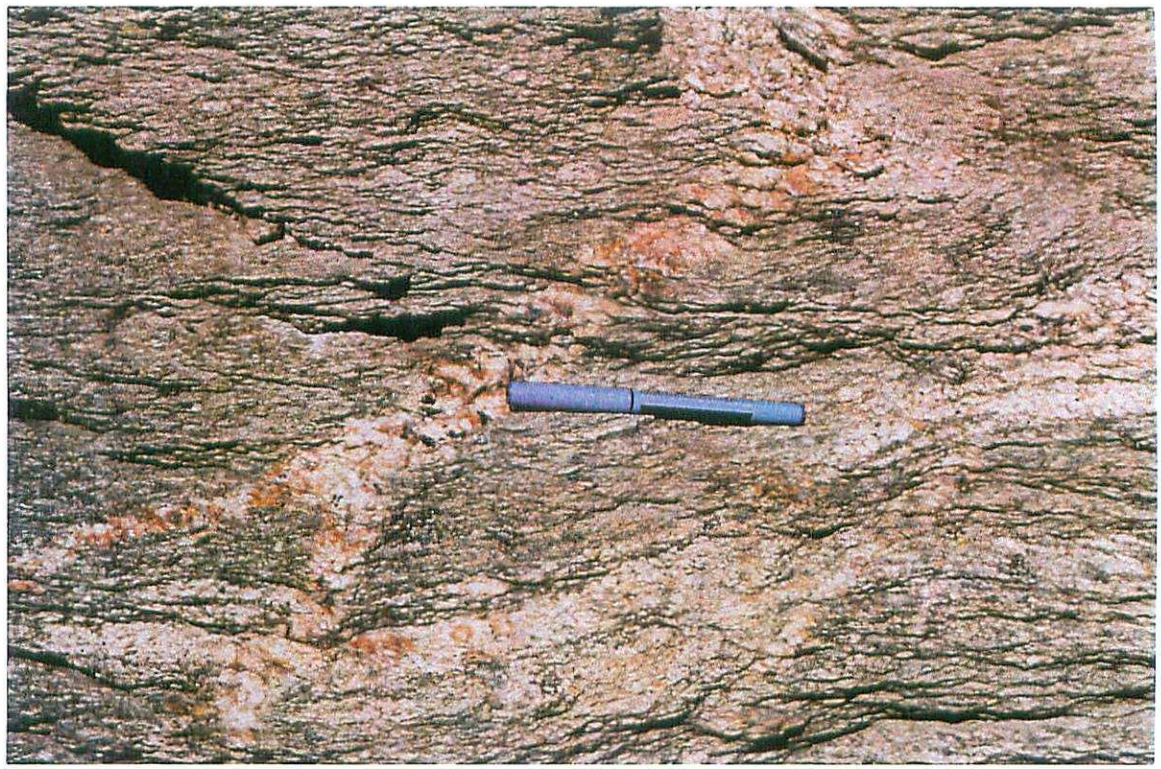


Foto 3. Pegmatitas asociadas a los granitos y leucogranitos de dos micas de Martinamor, deformadas por D_2 e intrusivas respecto a las ortoneises de S. Pelayo (SE de Cuatro Calzadas)

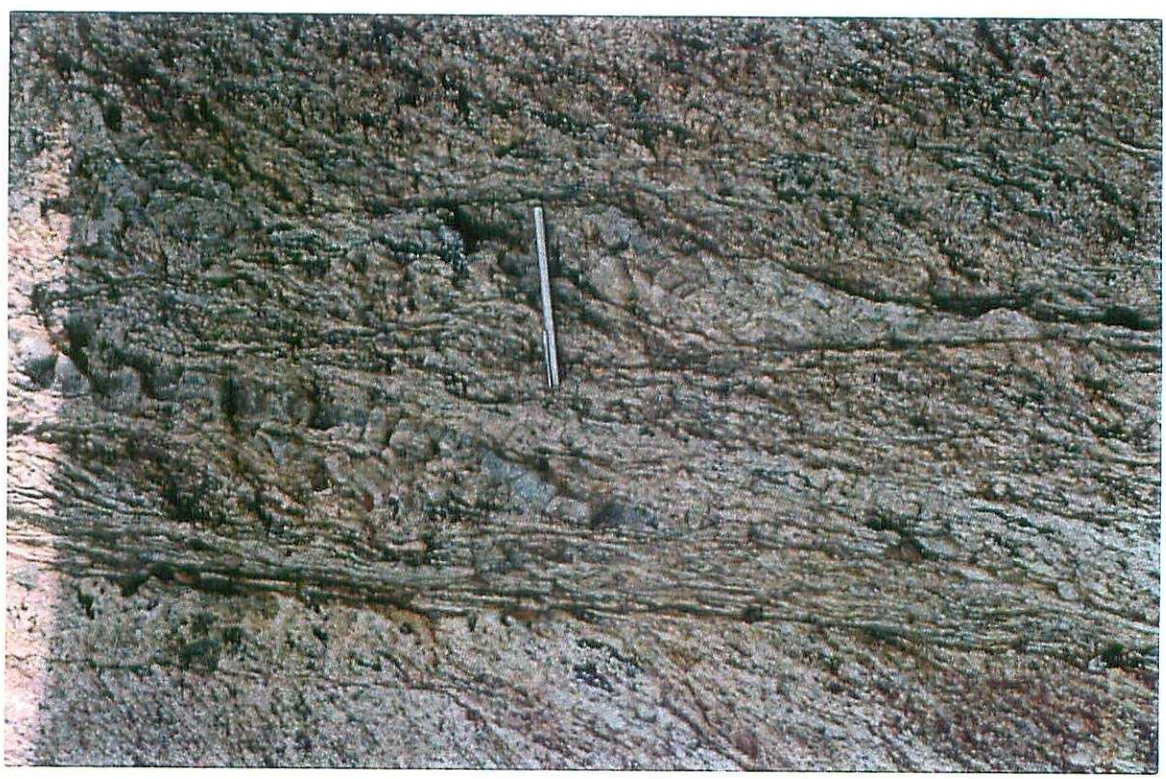


Foto 4. Cizalla senextra relacionada con D_3 que afecta a los granitos y leucogranitos de dos micas de Martinamor, W. de la Alquería de Matamala.

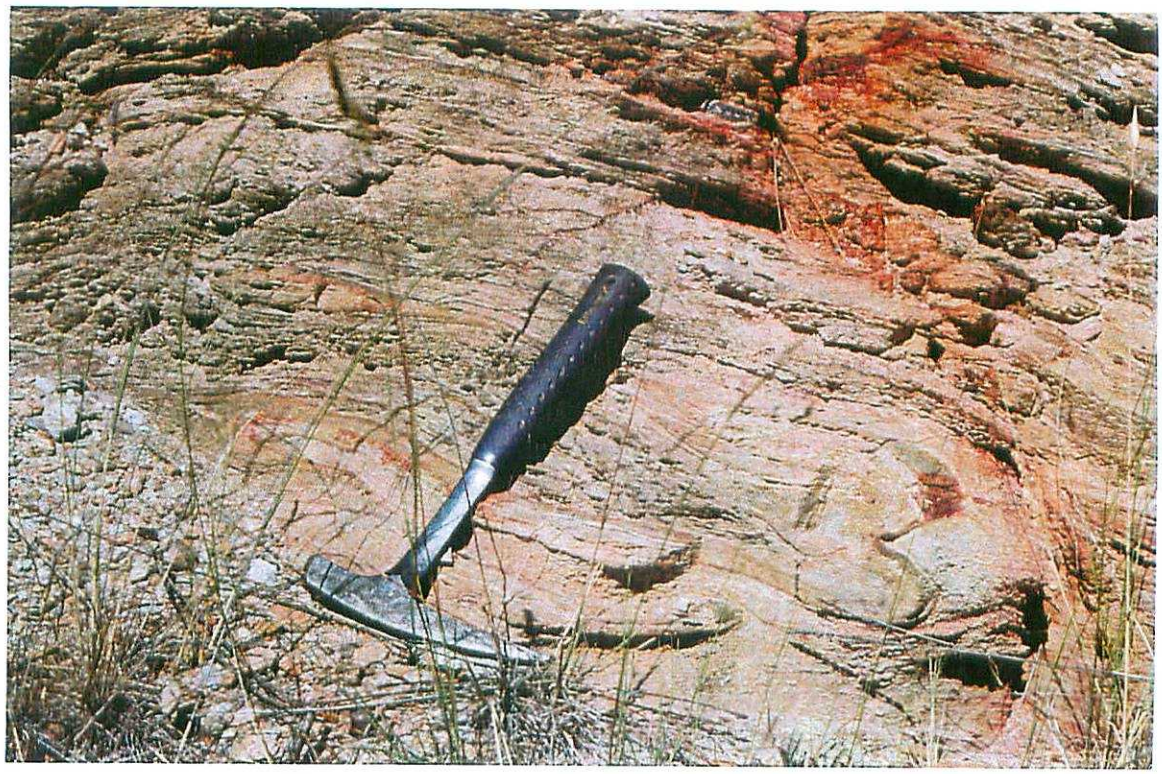


Foto 5. Pliegues de D_2 areniscas y esquistos de la F. Monterrubio en el Km. 15'6 de la Ctra. Salamanca-Cáceres.



Foto 6. Pliegues de D_2 en areniscas y esquistos de la F. Monterrubio en el Km 1'5 de la Ctra. Alba de Tormes-Fresno Alhándiga

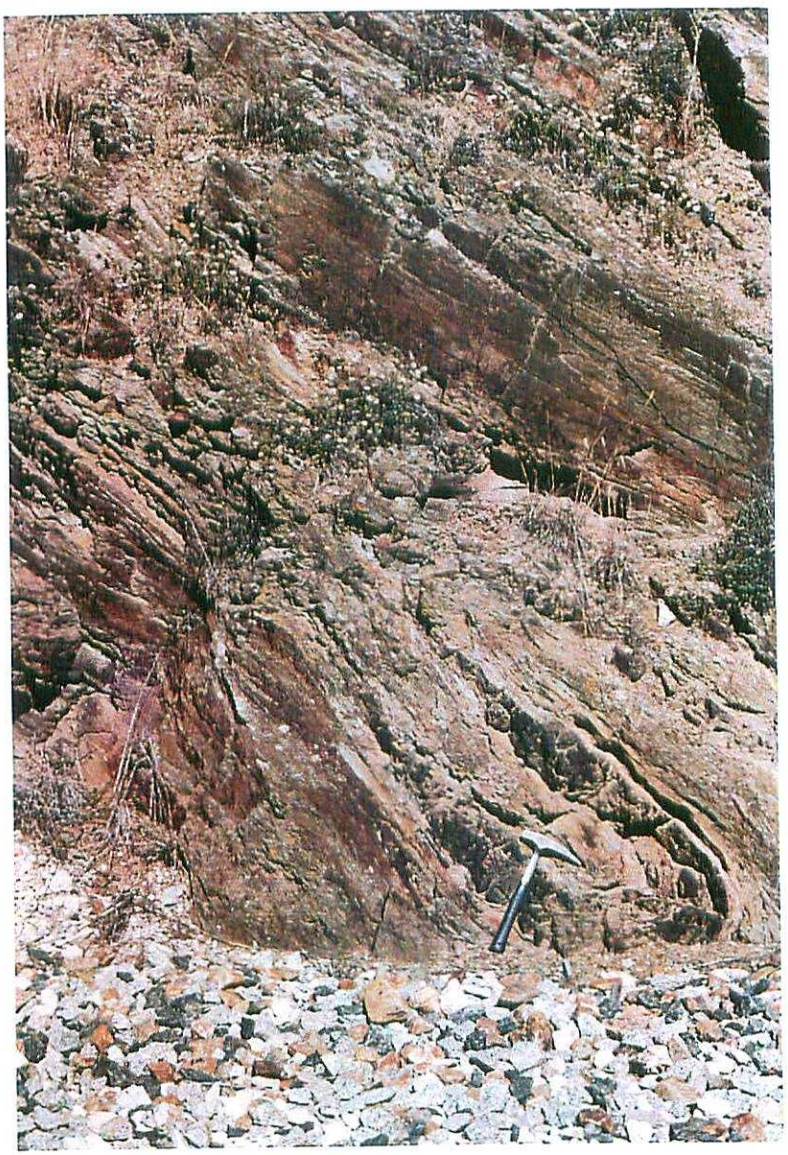


Foto 7. Pliegues de D_2 en rocas cuarzoanfibólicas de la F. Monterrubio en el Km. 139'7 del ferrocarril Salamanca-Cáceres.

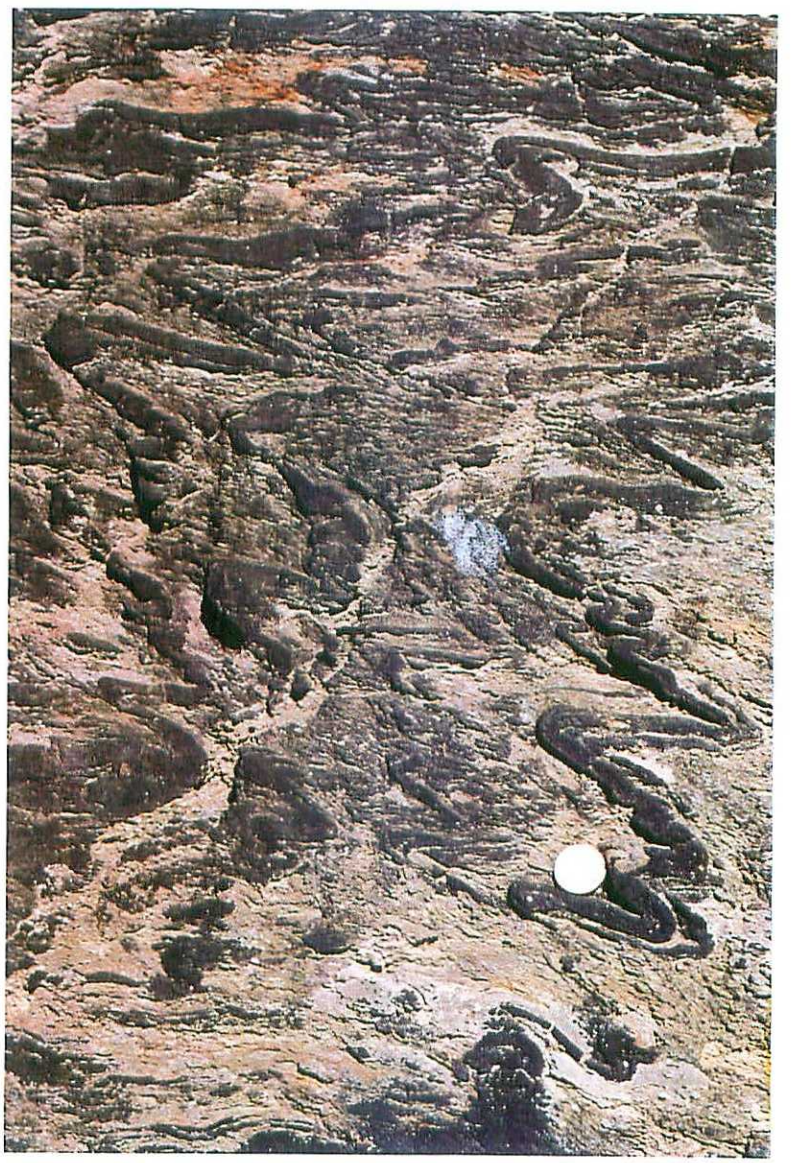


Foto 8. Pliegues de D_2 con esquistosidad asociada en esquistos y areniscas de la F. Monterrubio en el Km 140,2 del ferrocarril Salamanca-Cáceres



*SIN UBICACIÓN EN MCC1, NI EN PLANO DE SITUACIÓN DE MUESTRAS.

Foto 9. Pliegue de D_1 en pelitas y limolitas de la F. Aldeatejada cerca de Pedrosillo de los Aires.



Foto 10. Falla inversa (F. Aldeatejada sobre materiales terciarios en el Km 15 de la Ctra. Salamanca-Cáceres).

HERCINICO

Diapositiva 1- Ortoneis de S. Pelayo (Cuatro Calzadas)

2- Pegmatitas subparalelas a S_2 (Pelayos)

3- Pegmatitas deformadas por D_2 y cortantes respecto a las ortoneises de S. Pelayo (Cuatro Calzadas)

4- Cizalla senextra en granitos y leucogranitos de dos micas (Martinamor)

5- Pliegues de D_2 en vaina al norte de Cuatro Calzadas

6- Pliegues de D_2 en Alba de Tormes

7- Pliegues de D_2 en rocas microanfibólicas (Alba de Tormes)

8- Pliegues de D_2 con esquistosidad asociada. Corte del ferrocarril (Alba de Tormes)

9- Pliegue de D_1 en esquistosidad de plano axial S_1 (Pedrosillo de los Aires)

10- Falla inversa de la F. Aldeatejada sobre el Terciario (Cuatro Calzadas)

11- Láminas graníticas sin-post D_2 en la Antiforma de Martinamor (Buenavista)

12- Arenisca abudinada en zona de pliegues D_2 (Alba de Tormes) Km 1'3 (Ctra. Alba de Tormes a Freno Alhandiga

13- Pliegues de D_2 de charnela curva (Morille)

14- Pliegues de D_2 cerca de alba de Tormes. Ferrocarril Salamanca-Cáceres Km 139

15- Pliegues de D_2 con vergencia que parece contraria (Alba de Tormes). Ferrocarril Salamanca-Cáceres Km 140'5.

ALBUM FOTOGRAFICO (HOJA 13-20) (MICROSCOPIO)

(Areniscas y fangos siderolíticos de edad Paleoceno)
Foto nº 1 (Negativo nº 0)

(Muestra 1-5; en Nicoles II Aumento en el negativo: [=0,5 mm*)

Aspecto de una arenisca de tendencia microconglomerática con granos de cuarzo y cuarcita y con una matriz de color marrón con diferenciaciones neguzcas. Dicha matriz, de naturaleza arcilloso-opalina, es enteramente neoformada a partir de los procesos de alteración asociados a la actividad paleoedáfica. Los granos cuarzo y de cuarcita aparecen con corrosiones en sus bordes, a través de los cuales puede penetrar la matriz en su interior.
*: El símbolo [se refiere al tamaño de la reglita que aparece en el vértice sup.- dcho. de cada foto.

Foto nº 2 (Negativo nº 1)

(Muestra 1-5; en Nicoles X; Aumento en el negativo [=0.15 mm*)

Aspecto de una arenisca de tendencia microconglomerática mostrando otros granos que han sido completamente argilizados y que pueden presentar o exntión ondulante y otros tipos de asociaciones de agregados arcillosos; entre estos últimos son frecuentes los tránsitos graduales hacia la matriz arcilloso-opalina.

Fotos nº 3 y 4 (Negativos nº 3 y 4)

(Muestra 1-5; en Nicoles II y X; Aumento en el negativo [0,15 mm*)

Aspecto de una arenisca de tendencia microconglomerática mostrando la difícil relación de los granos con la matriz. En efecto, en los granos detríticos son abundantes las corrosiones de sus bordes, los tránsitos graduales hacia la matriz o los reemplazamientos por material semejante o idéntico al de l amatriz. En cuanto a esta última, su color negro en Nicoles X indicaría la abundancia en ópalo.

Foto nº 5 (Negativo nº 5)

(Muestra 1-5; en Nicoles X; Aumento en el negativo: [=0,15 mm*)

Aspecto de una renisca de tendencia microconglomerática mostrando abundantes rasgos de procesos de alteración asociados a actividad paleoedáfica. Los granos de cuarzo y cuarcita aparecen con corrosiones en los bordes y flotan en la matriz sin apenas contacto entre ellos. Los demás granos (feldespatos y micas) han sido alterados y reemplazados por agregados arcillosos. La matriz arcillos-opalina presenta reorientaciones múltiples tanto en torno a los grano detríticos como en los poros y demás huecos.

Foto nº 6 (Negativo nº 6)

(Muestra 1- 9; en Nicoles II Aumento en el negativo: [=0,5mm*)

Aspecto de un fango arenoso con matriz arcilloso- opalina. Los granos más abundantes son de cuarzo y cuarcita aunque pueden aparecen algunos feldespatos potásicos y algunas pajuelas de micas blancas. La diferenciación negruzca, que aparece afectando a la matriz, corresponde a fijaciones de oxihidróxidos de Fe realcionadas con procesos de hidromorfía contemporáneos con los demás procesos de alteración que afectaron al sedimento con posterioridad a su depósito. Dichas diferenciaciones aparecen en estrecha relación con huecos y fisuras. Los punto negros de la parte izquierda de la foto no deben interpretarse comoóxidos detríticos sino como restos de la hidromorfía, que tambiéna fectó a esa zona de la matriz, y que no fueron completamente lavados en los episodios de reducción.

Foto nº 7 (Negativo nº 7)

(Muestra 1- 12; en Nicoles II Aumento en el negativo: [=0.15mm*)

Detalle de una arenisca de grano medio con matriz arcillosa y carácter parcialmente fangoso. Obsérvese cómo la acumulación de oxihidróxidos de Fe provocada por la hidromorfía progresa desde el borde del poro (en este caso un pedotúbulo) hacia el interior de la matriz difuminándose paulatinamente. En la matriz no hay granos libres de oxihidróxidos de Fe y por tanto, si aparecieran, como es el caso de la foto anterior, se deberían a estos procesos.

Foto nº 8 (Negativo nº 8)

(Muestra 1-13; en Nicoles II Aumento en el negativo [=0,5mm*)

Detalle de un fango limo- arenoso de matriz arcillosa en la que puede apreciarse la complejidad de los procesos post-sedimentarios. Obsérvese un pedotúbulo que inicialmente lleva una acumulación de oxihidróxidos de Fe provocada por procesos de hidromorfía y que, posteriormente, sirve de lugar par la fijación d eiluviaciones o depósitos microlaminados de naturaleza arcillosa.

Foto nº 9 (Negativo nº 9)

(Muestra 1-13; en Nicoles X Aumento en el negativo: [=0,15mm*)

Detalle de un fango limo- arenoso de matriz arcillosa en la que pueden apreciarse la complejidad de los procesos post-sedimentarios y muy especialmente los d ehidromorfía. Obsérvese una zona matricial, fuertemente enrojecida, donde la matriz arcillosa aparece teñida por los oxihidróxidos de Fe, pero donde no aparecen granos libres de dichos minerales; en la zona más clara que rodea a la anterior sí que aparecen granos opacos de oxihidróxidos de Fe indiviualizados. Finalmente en la zona verdosa de la microfotografía, decolorada en un episodio localizado de reducción, han desaparecido tanto los oxihidróxidos de Fe del fondo matricial como los grano individualizados.

Foto nº 10 (Negativo nº 12)

(Muestra 1- 15B; en Nicoles II Aumento en el negativo: [=0,5mm*)
Detalle de un fango de matriz arcillosa con procesos complejos de hidromofía asociados a grietas tanto rectar como curvas.

Foto nº 11 (Negativo nº 10)

(Muestra 1- 15; en Nicoles II Aumento en el negativo: [=0,5mm*)

Detalle de una arenisca microlaminada en láminas grnaodecrecientes con matriz arcillosa o arcillo-ferruginosa; esta última es debida a procesos complejos de hidromofía. En este caso la fijación de los oxihidróxidos de Fe se intensifica de tal forma en los contactos entre las granulometrías diferentes de las microláminas, que la matriz arcillosa puede ser enteramente substituida por dichos minerales.

Foto nº 12 (Negativo nº 11)

(Muestra 1- 15; en Nicoles II Aumento en el negativo: [=0,5mm*)

Detalle de una arenisca microlaminada en láminas granodecrecientes con matriz arcillosa o arcillo- ferruginosa. Obsérvese la invasión de la porosidad de la arenisca por los oxihidróxidos de Fe debido a los procesos de hidromorfía y la posterior formación de depósitos microlaminados de arcilla en los poros aún no completamente cerrados.

(Areniscas y fangos arcósicos de edad Eoceno- Oligoceno

Foto nº 13 (Negativo nº 13)

(Muestra 21- 15; en Nicoles X Aumento en el negativo: [=0,5mm*)

Detalle de una arenisca arcósica de tendencia microconglomerática con matriz arcillosa. Obsérvese cómo entre los granos apenas hay contacto entre ellos, cómo los bordes de los grano gruesos suelen ser netos, mientras que los de los finos pueden ser netos, mientras que los de los finos pueden ser difusos y presentan tránsitos graduales hacia la matriz. Su mineralogía está formada por cuarzo, feldespatos y micas blancas. La matriz aparece masivamente reorientada pudiendo diferenciarse dos tipos diferentes; en primer lugar, en torno a los granos detríticos -fábricas de birrefrigencia granoestriada- y en segundo lugar, en los huecos entre granos donde se pueden organizar fábricas de birregrigencia de tipo moteado en mosaico en motas aisladas.

Foto nº 14 (Negativo nº 14)

(Muestra 21- 15; en Nicoles X Aumento en el negativo: [=0,15mm*)

Detalle de una arenisca arcósica de tendencia microconglomerática con matriz arcillosa. Detalle de la granoestriación que presenta la matriz en torno a los grano detríticos; en este caso uno de ellos es feldespático (el de abajo) y el otro de cuarcita. Obsérvese como la relación de la matriz con el grano feldespático es compleja debido a la alteración de éste.

Foto nº 15 (Negativo nº 15)

(Muestra 21- 15; en Nicoles X Aumento en el negativo: [=0,15mm*)

Detalle de una arenisca arcósica de tendencia microconglomerática con matriz arcillosa.

Detalle de la alteración de un grano feldespático que comenzando por una simple corrosión de los bordes progresa hacia el interior a favor de planos de mayor debilidad; la matriz arcillosa invade, casi al mismo tiempo, los huecos que elabora la alteración del grano.

Foto nº 16 (Negativo nº 16)

(Muestra 21- 02; en Nicoles X Aumento en el negativo: [=0,15mm*)

Detalle de una arenisca arcósica de tendencia microconglomerática con matriz arcillosa. Detalle de la alteración de los granos detríticos, pero especialmente de los feldespáticos. La alteración pueden provocar un reemplazamiento total del grano por una mezcla de agregados arcillosos idénticos a los que forman la matriz. En estos casos los contacto grano-matriz se van difuminando y al final puede ocurrir que el fantasma del grano feldespático termine desapareciendo transformándose su espacio en matriz. En los granos de cuarzo la alteración se reduce a simples corrosiones del borde.

Areniscas y fangos rojos de dad Mioceno Inferior)

Foto nº 17 (Negativo nº 24)

(Muestra 21- 02; en Nicoles II; Aumento en el negativo [=0,15mm*)

Fango con matriz arcillosa. Los granos visibles son de cuarzo, de cuarcita, y en mucha menor medida feldespatos y otros fragmentos de roca no cuarcíticos (cloritoesquistos, biotitoesquistos y micaesquistos). La matriz arcillosa suele estar fuertemente coloreada de rojo por la presencia, en íntima relación, de oxihidróxidos de Fe fijados por procesos de hidromorfía; estos últimos en primera instancia suelen ser contemporáneos con las reorganizaciones matriciales asociadas a la actividad paleoedáfica. Sin embargo, la persistencia de dichos procesos de hidromorfía puede dar lugar a nuevas reorganizaciones de los oxihidróxidos de Fe. Este es el caso de esta fotografía, donde se observa una acumulación secundaria de oxihidróxidos de Fe en torno a grietas fisuras y poros en detrimento de una decoloración del resto de la matriz.

Foto nº 18 (Negativo nº 23)

(Muestra 21- 02; en Nicoles II; Aumento en el negativo: [=0,5mm*)

Fango con matriz arcillosa. Detalle del proceso de decoloración de la matriz arcillosa por la persistencia de los procesos de hidromorfía. En la parte inferior los oxihidróxidos de Fe están en íntima relación con la matriz arcillosa, son los responsables de color rojo, no existiendo en esta zona granos individualizados, visibles al microscopio, de oxihidróxidos de Fe. En la parte superior se ha producido una separación matriz arcillosa- oxihidróxidos de Fe, perdiéndose, probablemente, buena parte de éstos e individualizándose oatros en forma de granos opacos cuyo tamaño es apreciable al microscopio.

Foto nº 19 (Negativo nº 17)

(Muestra 21- 07; en Nicoles X; Aumento en el negativo: [=0,15mm*)

Fango con matriz arcillosa. Aspecto general del fango rojo con los cantos flotando en la matriz arcillosa. Esta última, además de rubefactada, está enteramente reorientada y repleta de otros rasgos de actividad paleoedáfica.

Foto nº 20 (negativo nº 18)

(Muestra 21- 07; en Nicoles X; Aumento en el negativo: [=0,5mm*)

Fango con matriz arcillosa. Aspecto de las reorientaciones y de la rubefacción de la matriz arcillosa y presencia de depósitos microlaminados en torno a los huecos (cutanes).

Foto nº 21 (Negativo nº 19)

(Muestra 21- 02; en Nicoles X; Aumento en le negativo: [0,15mm*)

Fango arenoso con matriz arcillosa. Aspecto de las reorientaciones de la matriz arcillosa en torno a los granos detríticos (granoestriación) y corrosiones de los bordes de los granos de cuarzo.

Foto nº 22 (Negativo nº 20)

(Muestra 21- 02; en Nicoles X; Aumento en el negativo: [=0,15mm*)

Fango arenoso con matriz arcillosa. Aspecto de la reorientaciones de la matriz arcillosa en torno a los granos detríticos (granoestriación), corrosiones de los bordes de los granos de cuarzo y alteración de las pajuelas detríticas de micas manifestada por la pérdida de sus propiedades ópticas. El hierro necesario para teñir de rojo la matriz arcillosa proviene, justamente, de la alteración de dichas micas.

Foto nº 23 8Negativo nº 21)

(Muestra 21- 02; en Nicoles X; Aumento en el negativo:,15mm*)

Fango arenoso con matriz arcillosa. Aspecto de la alteración incipiente de un grano de feldespato; se manifiesta por la aparición de escalones en los bordes y por el inicio de la penetración de la matriz arcillosa en su interior. Obsérvese también la reorientación de la matriz arcillosa en torno a los granos detríticos (granoestriación).

Foto nº 24 (Negativo nº 22)

(Muestra 21- 02 en Nicoles X; Aumento en el negativo: [=0,15mm*)

Fango arenoso con matriz arcillosa. Aspecto de la reorientación generalizada de la matriz arcillosa; ésta se produce tanto en torno a los grano detríticos (granoestriación), como en grandes dominios matriciales, sin apenas granos, o en torno a los huecos y poros. En uno de éstos pueden verse depósitos microlaminados de arcillas de coloración diferente al resto de la matriz. Parte de la arcilla que constituye el fondo matricial actual es un producto neoformado como consecuencia de la alteración de los minerales detríticos más lábiles (cloritas, micas y feldespatos); con posterioridad a dicha alteración la arcilla resultante es

removida por las reorganizaciones matriciales de origen edáfico e incorporada definitivamente como matriz.

FOTOS MICROSCOPIO (TERCIARIOS)

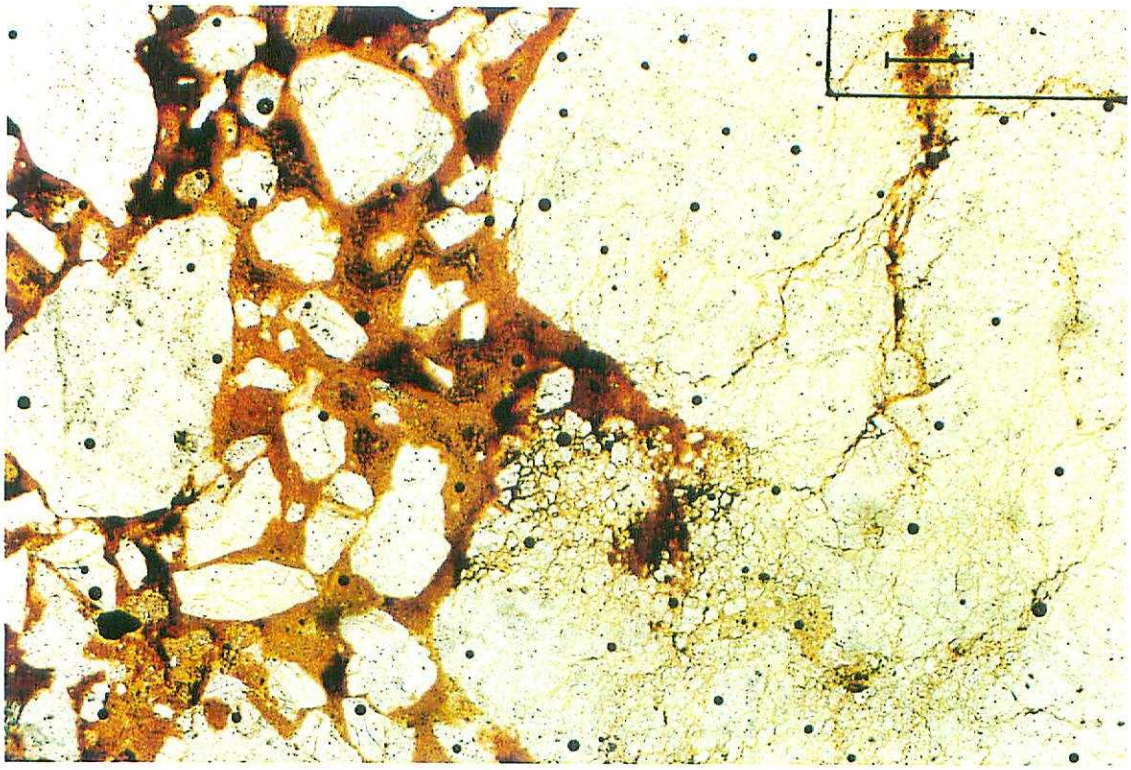


Foto 1

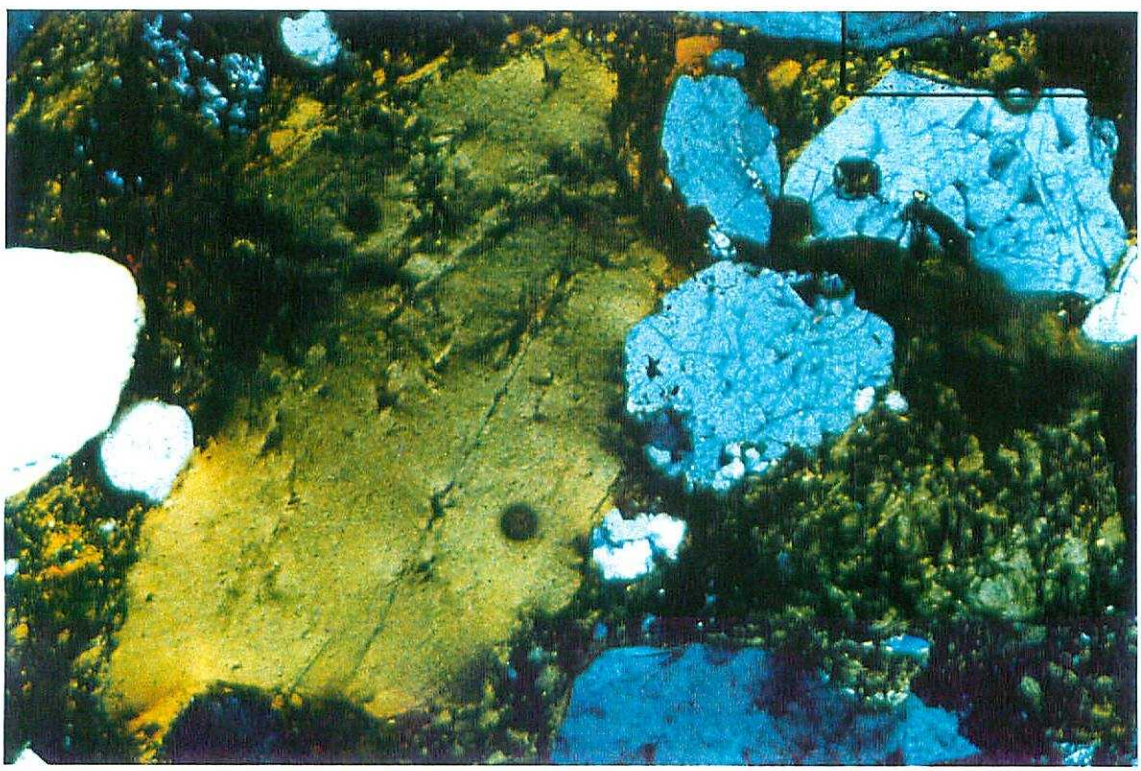
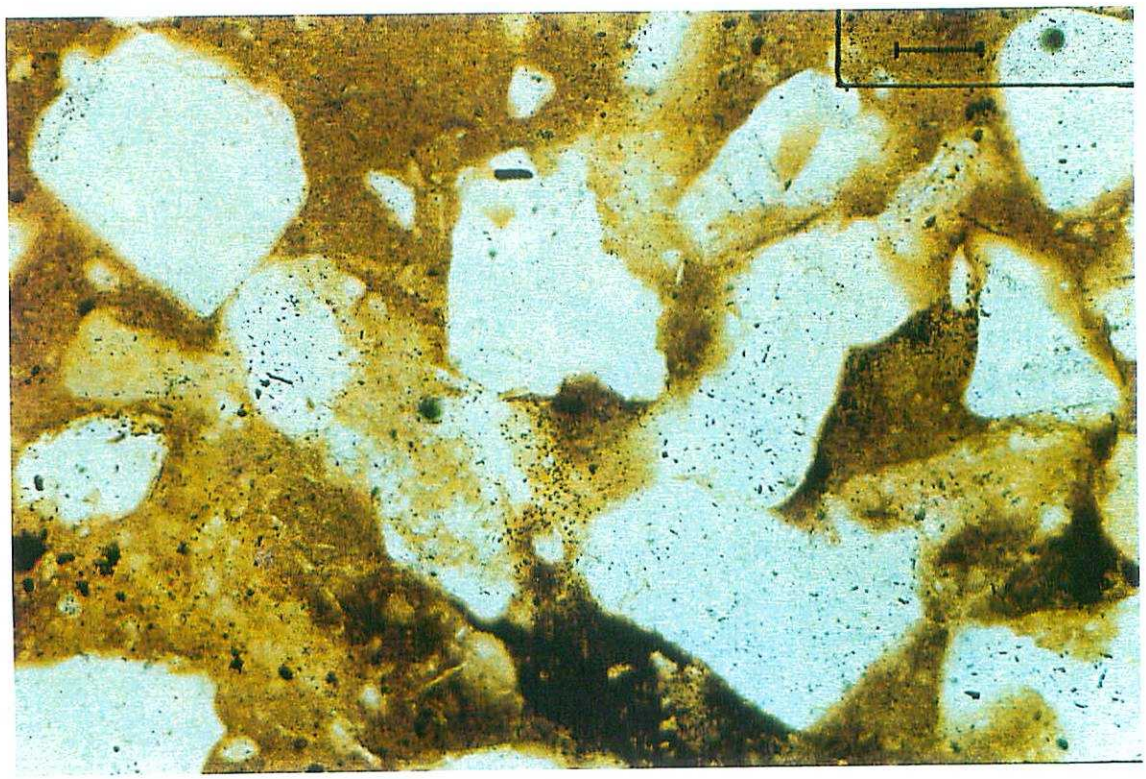


Foto 2



Fotc 3

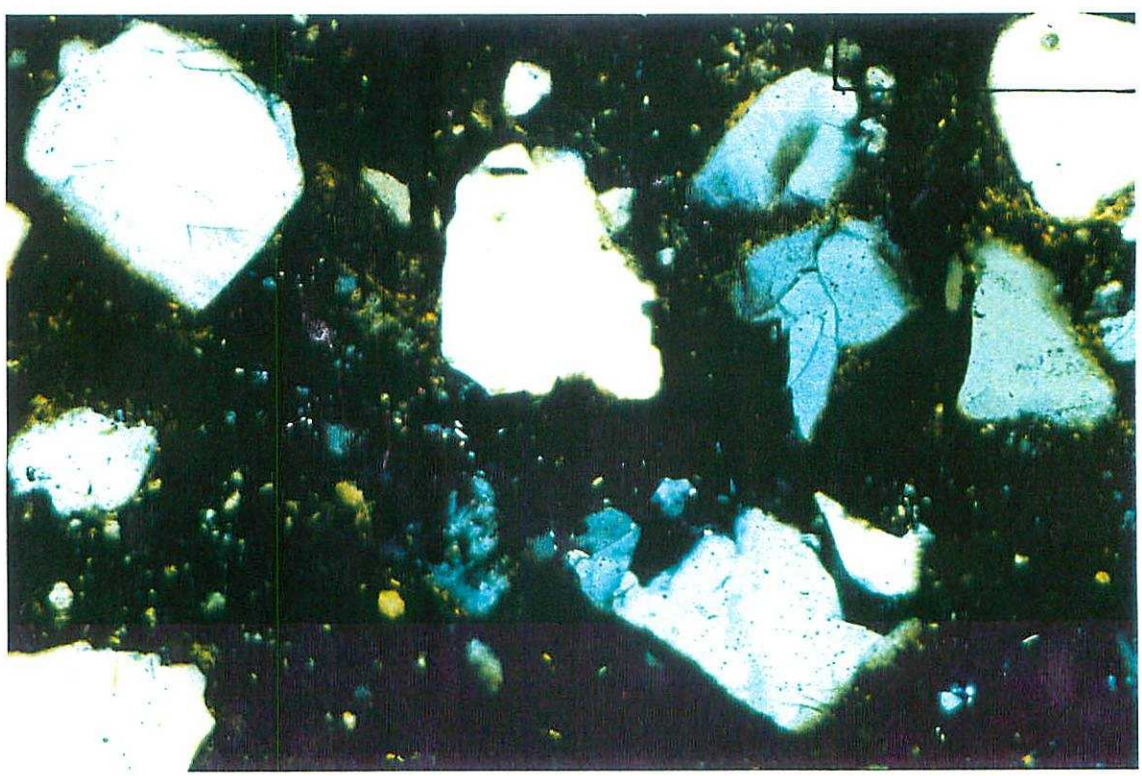


Foto 4

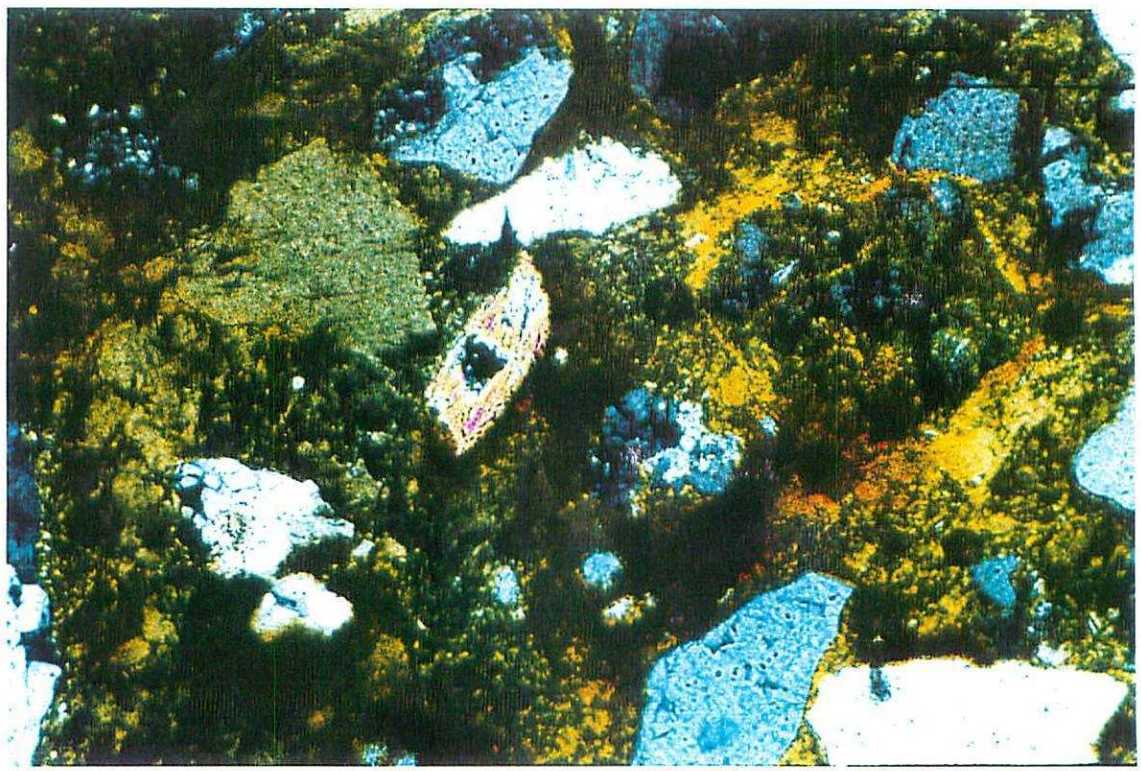


Foto 5

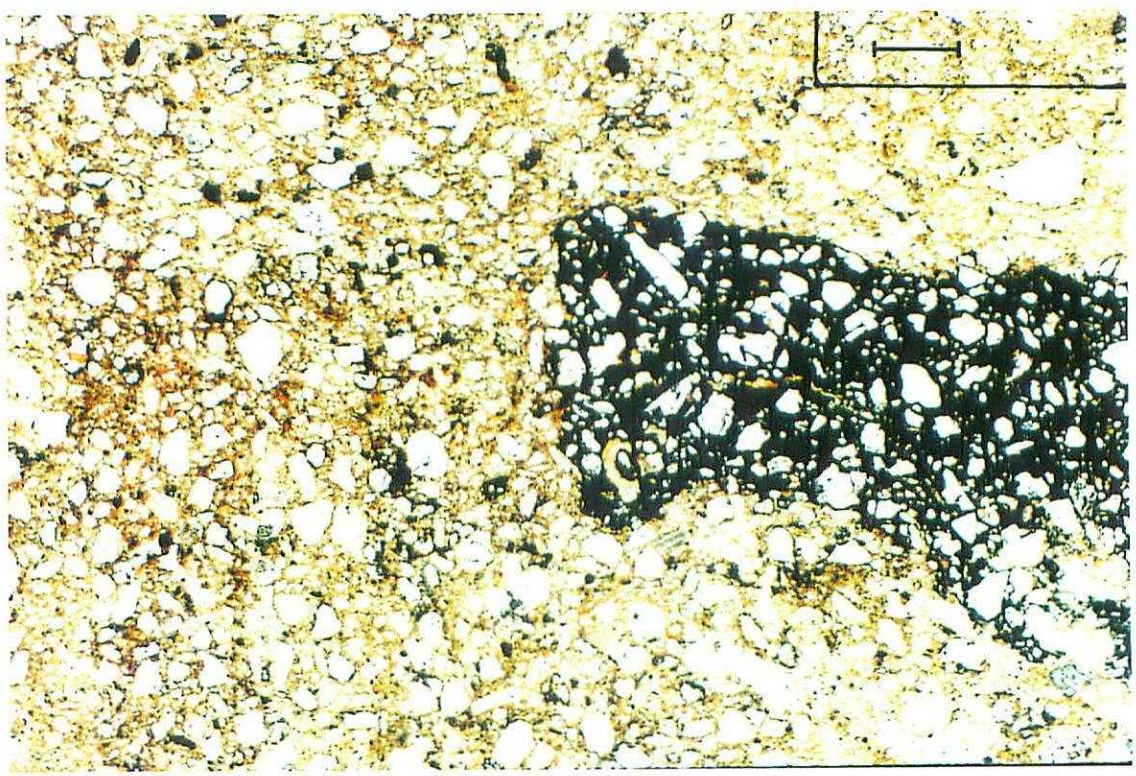


Foto 6

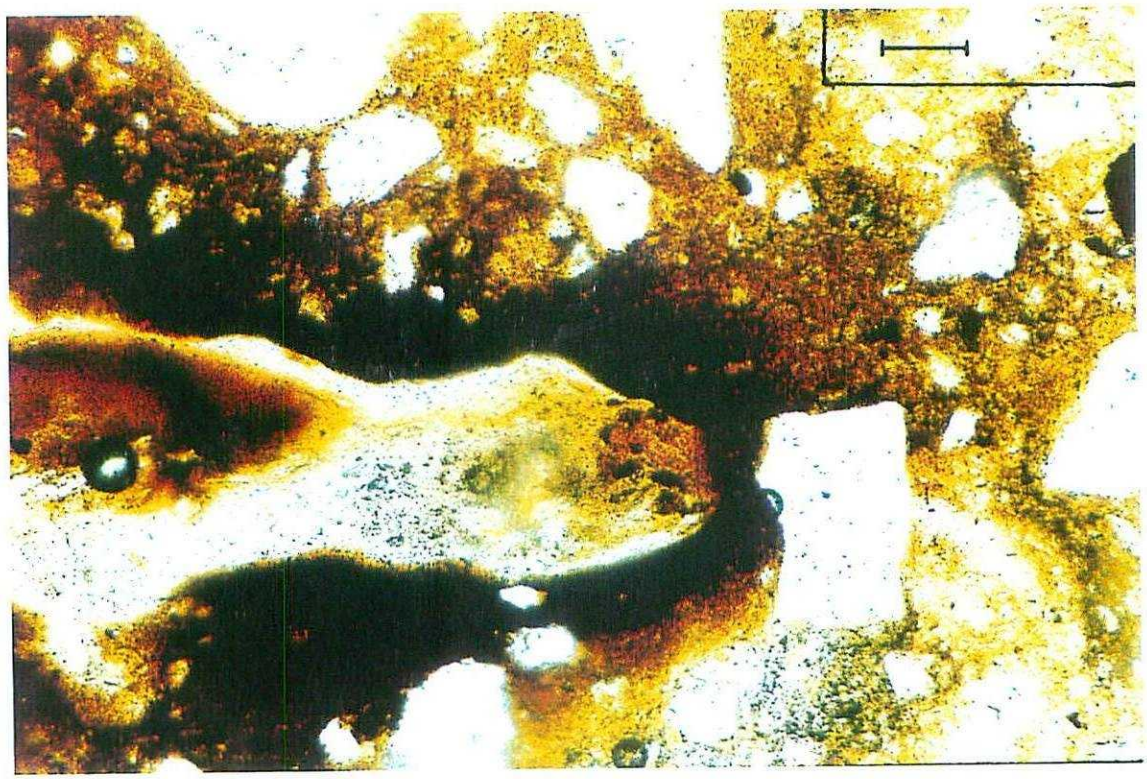


Foto 7

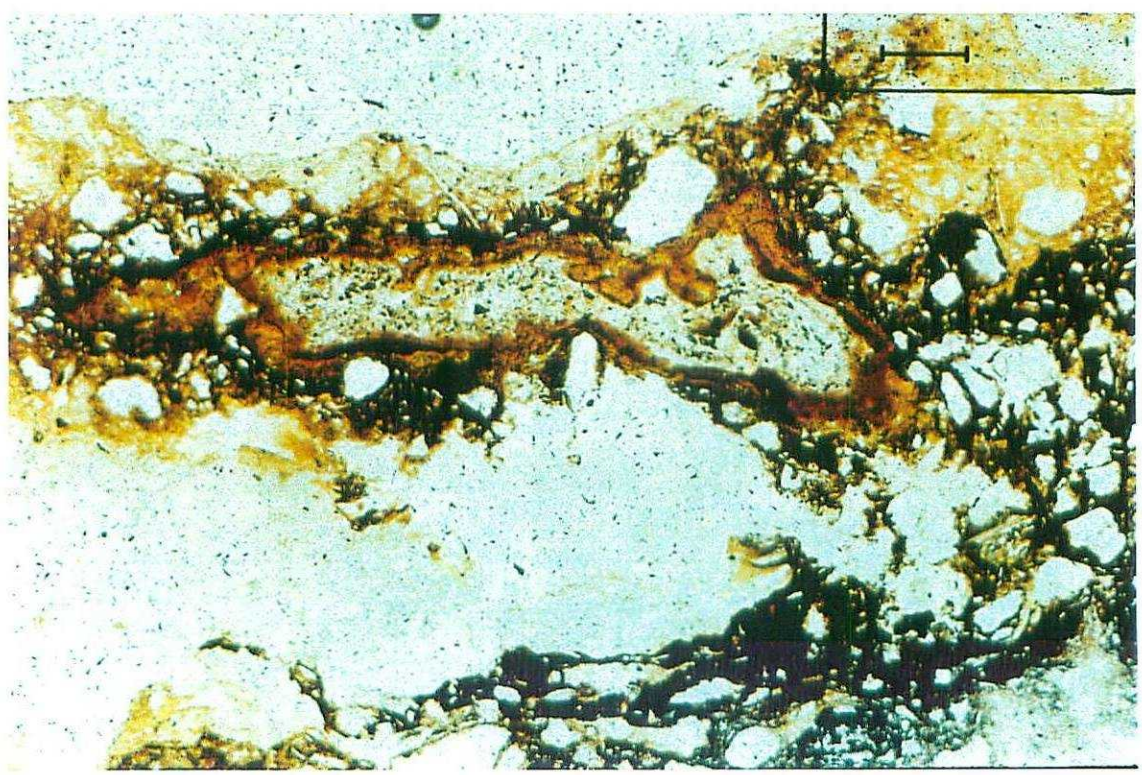


Foto 8

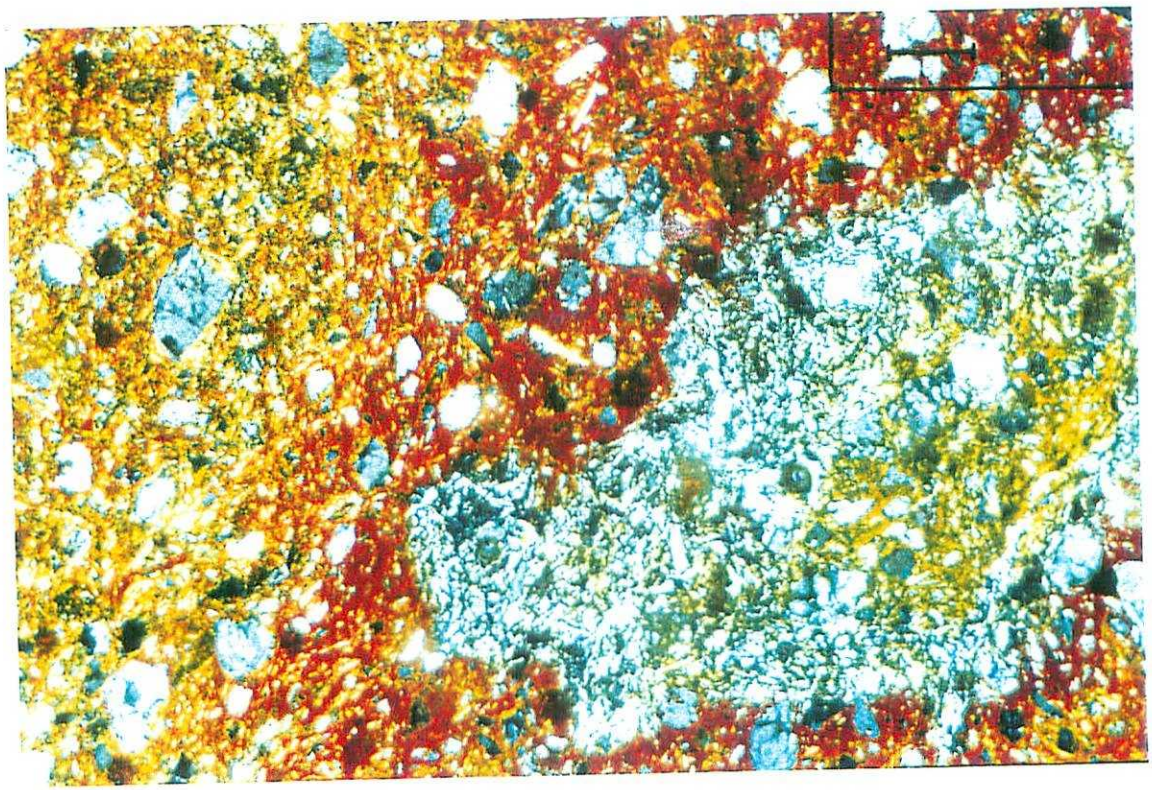


Foto 9

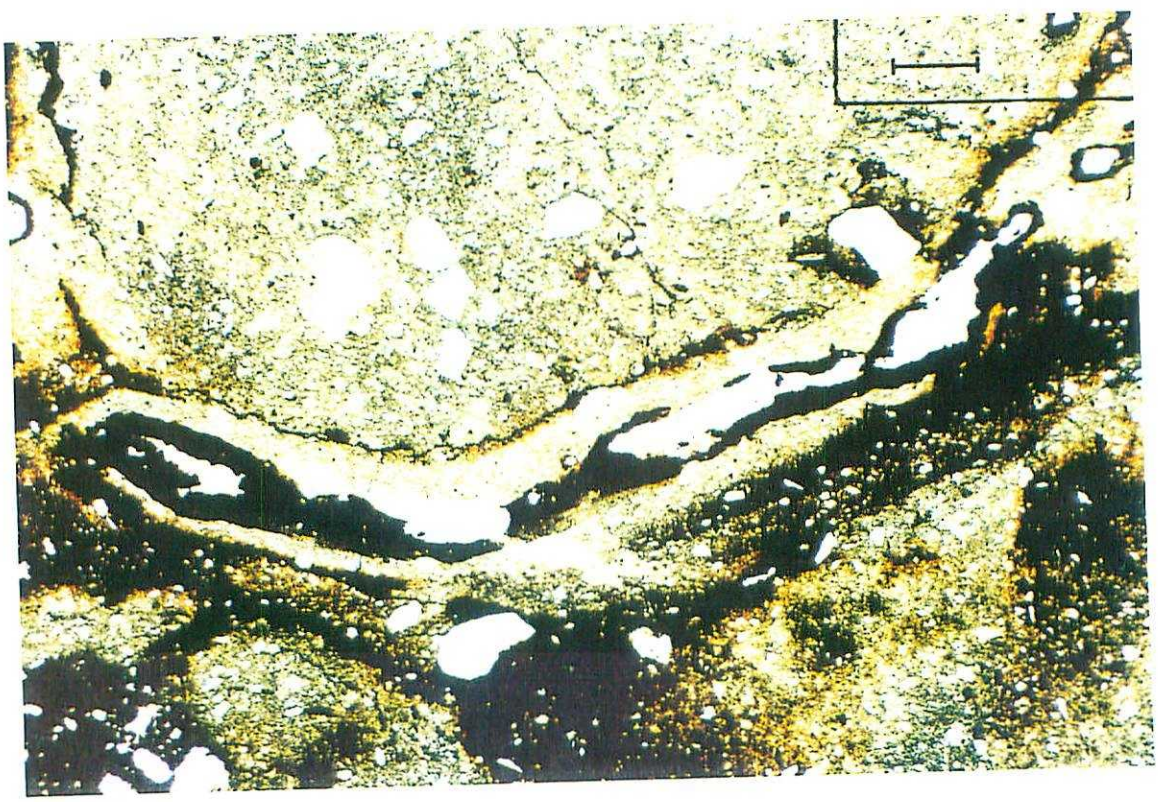


Foto 10

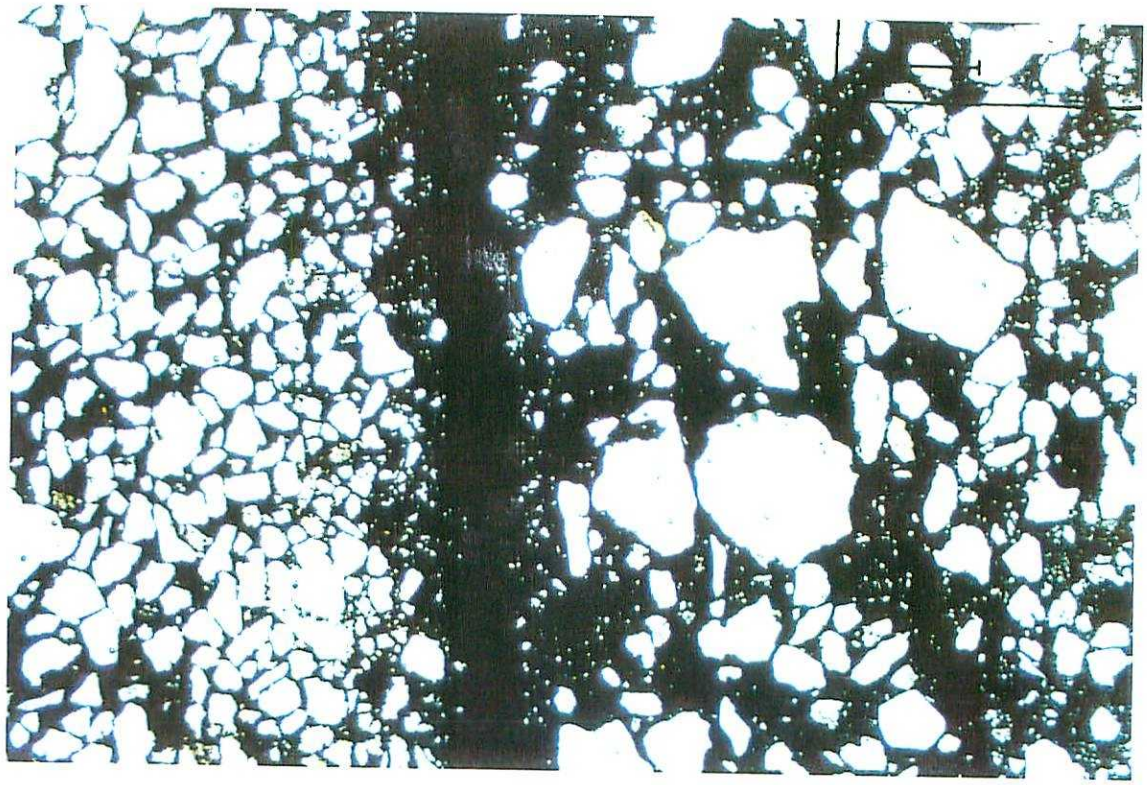


Foto 11

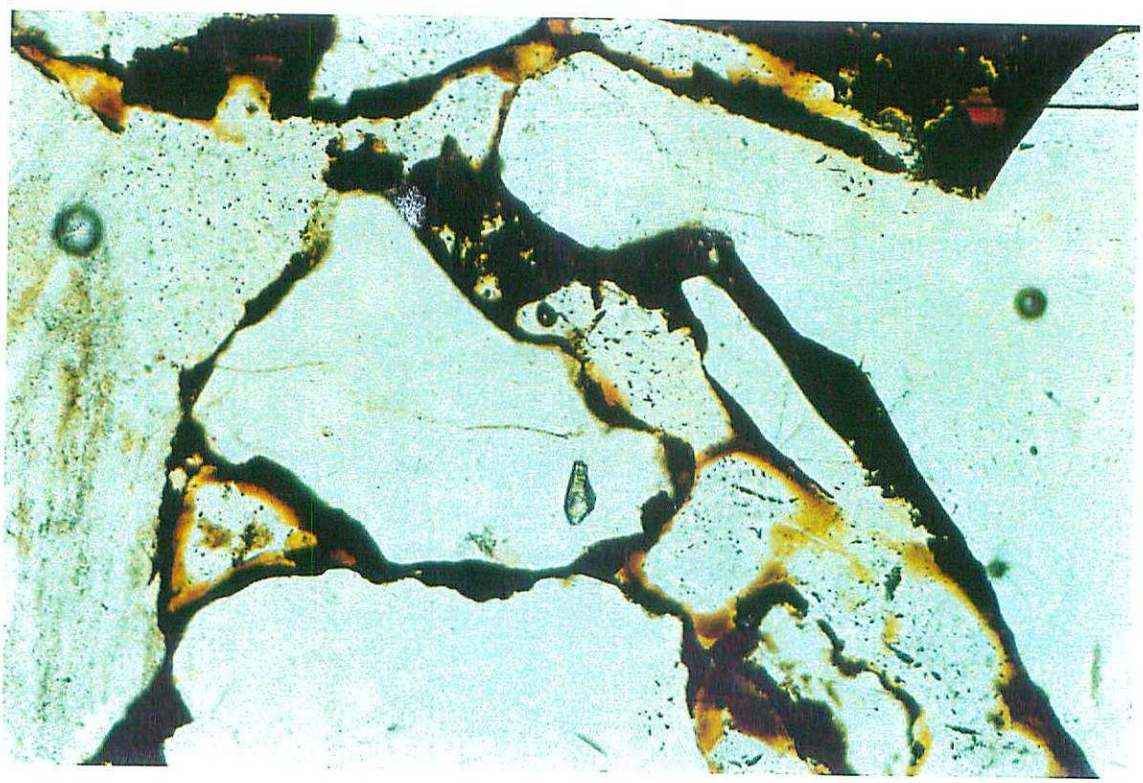


Foto 12

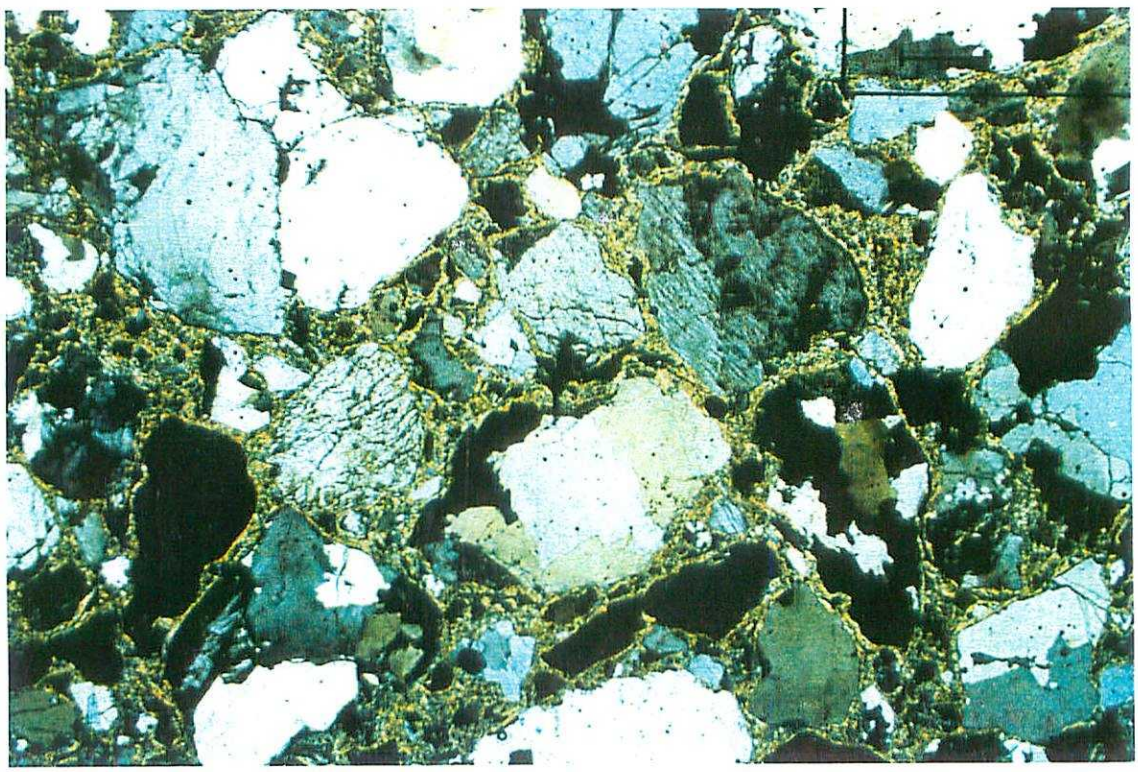


Foto 13

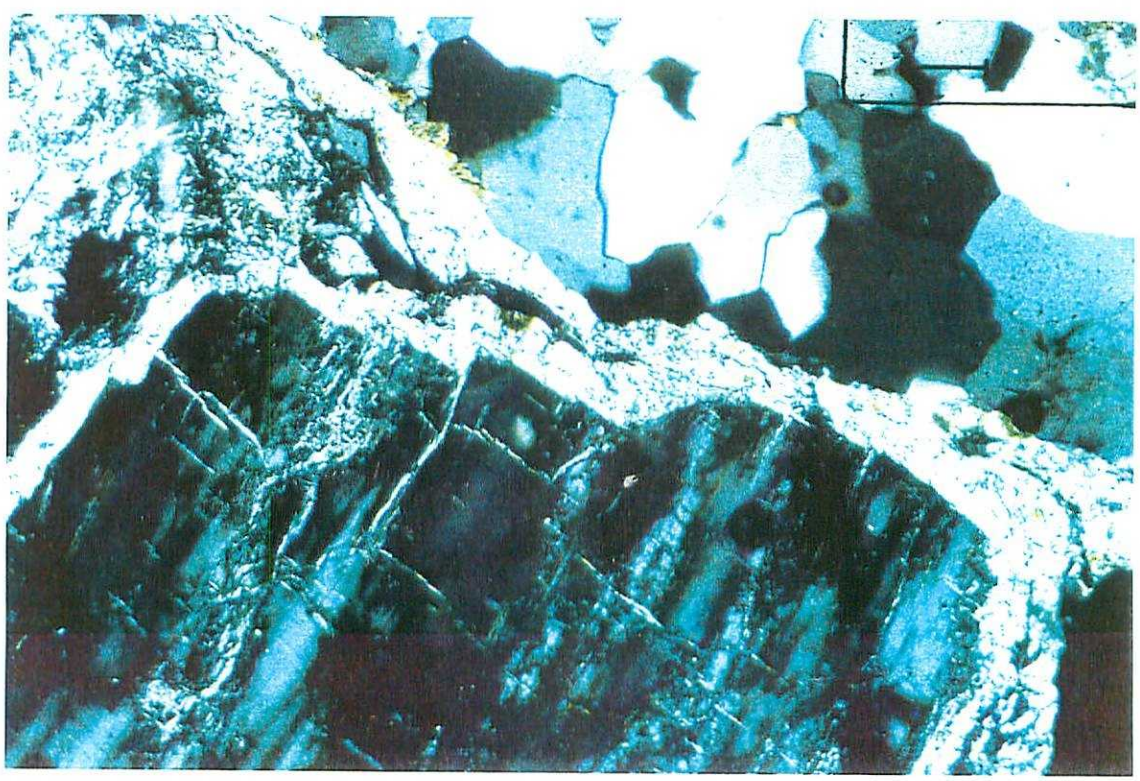


Foto 14

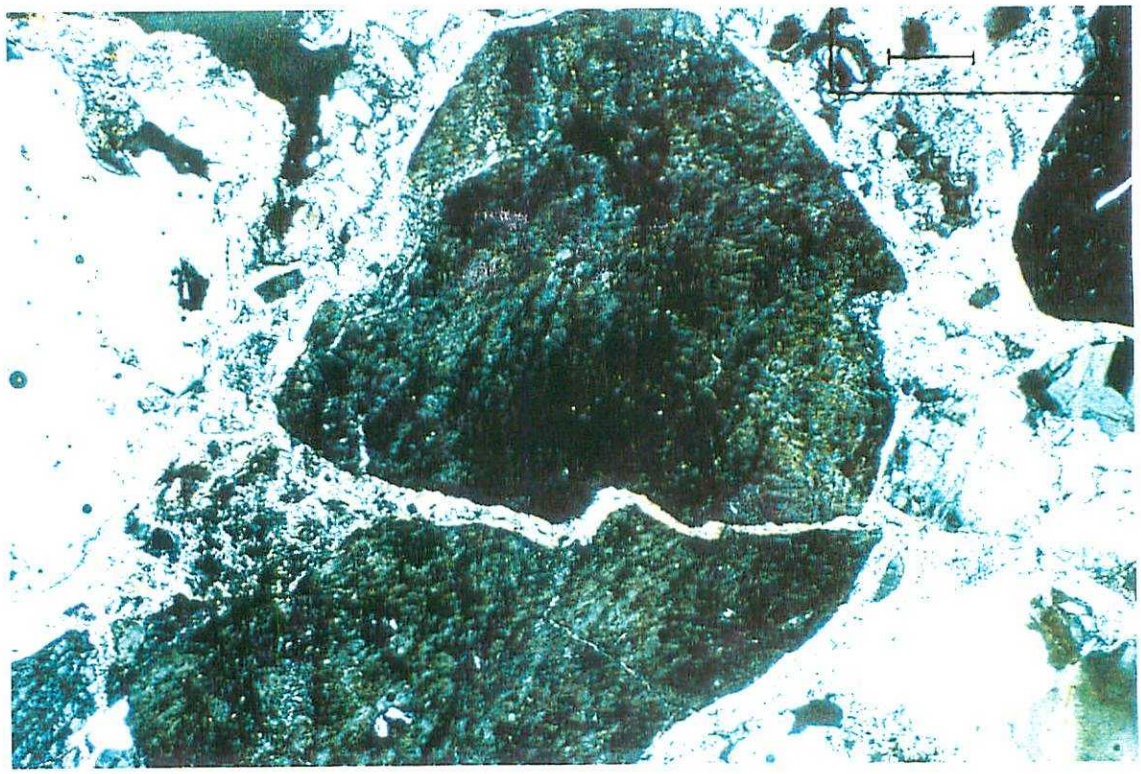


Foto 15

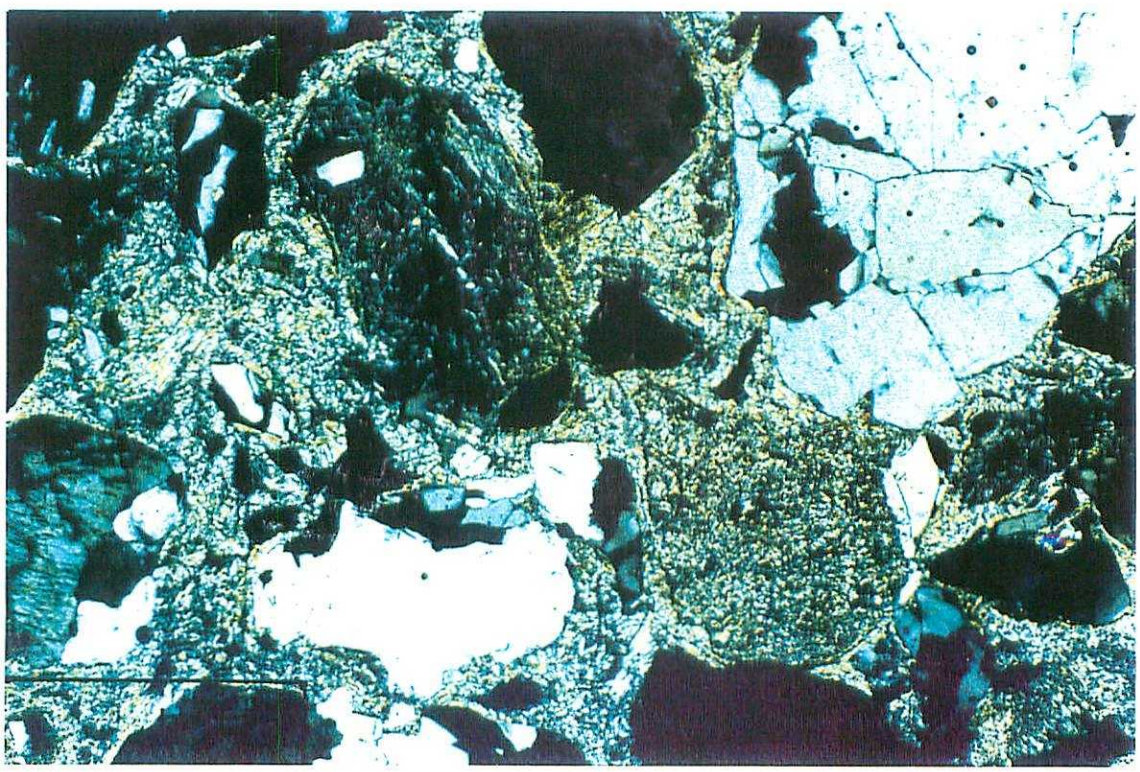


Foto 16

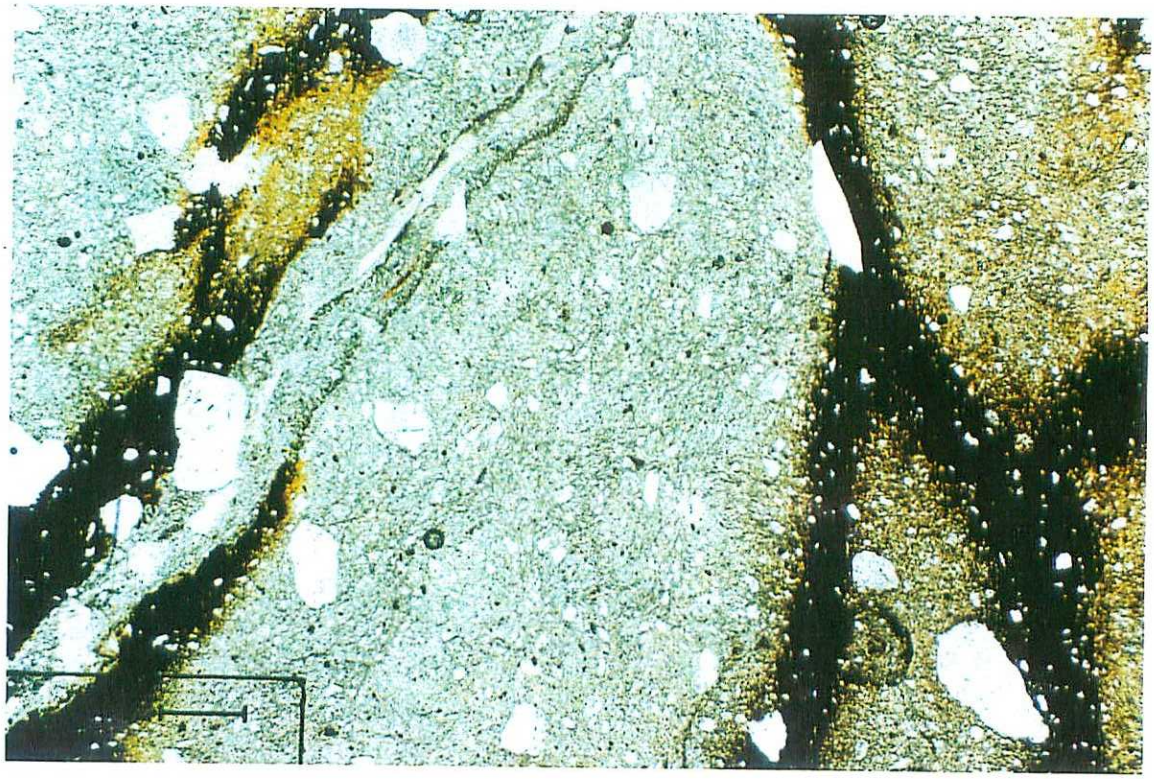


Foto 17

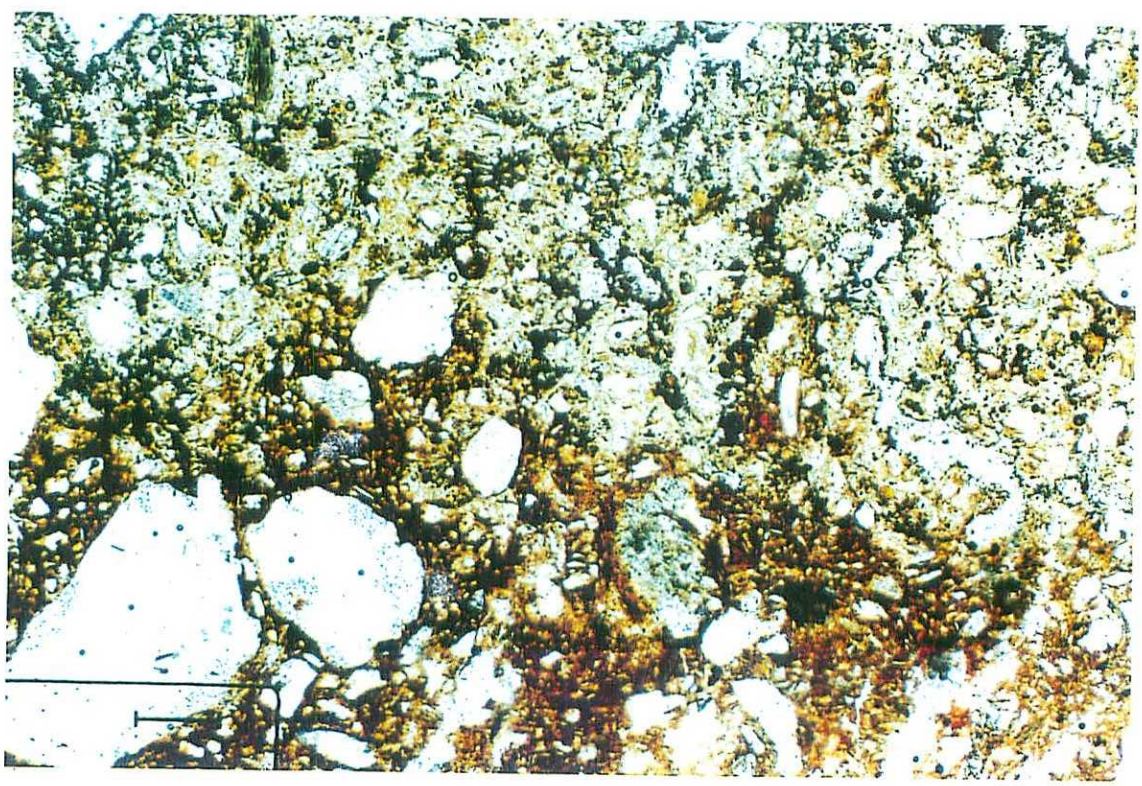


Foto 18

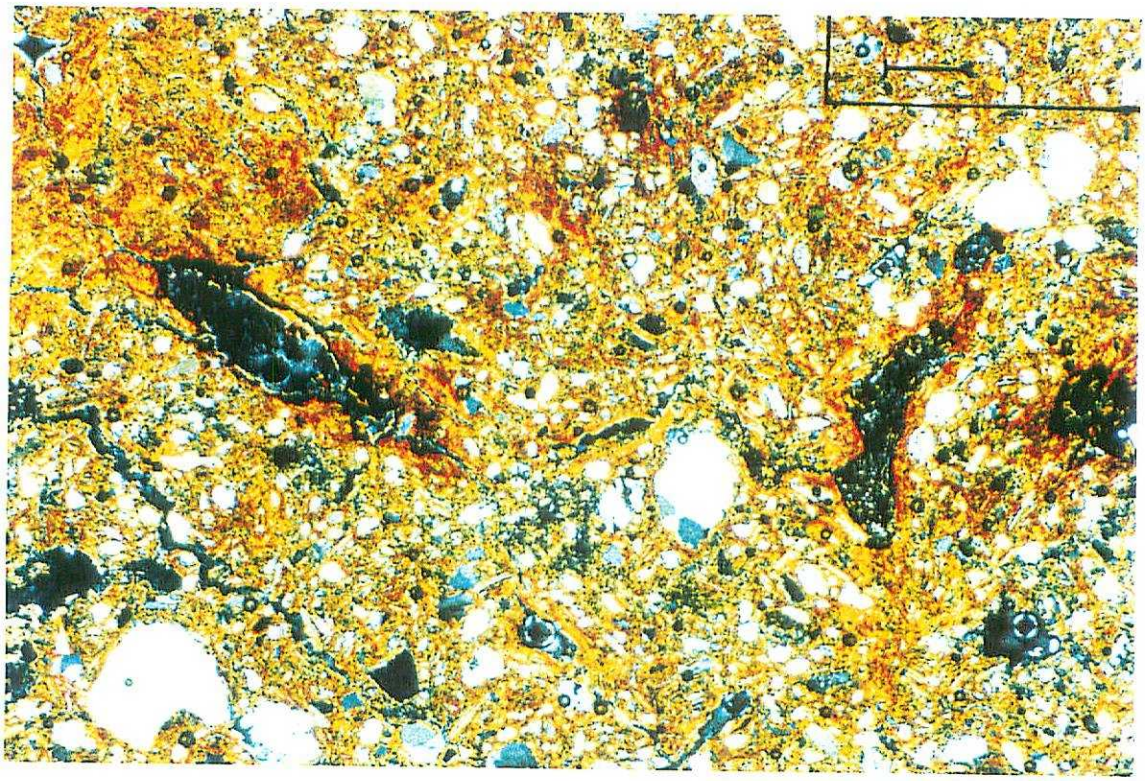


Foto 19

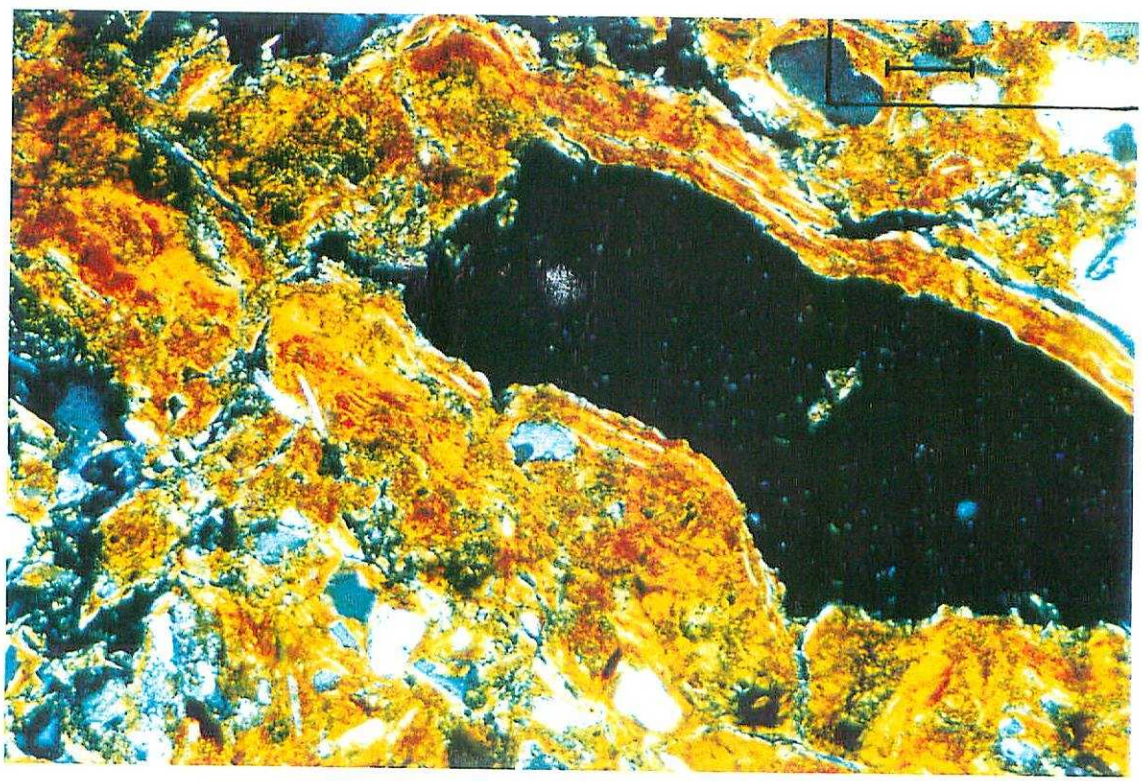


Foto 20

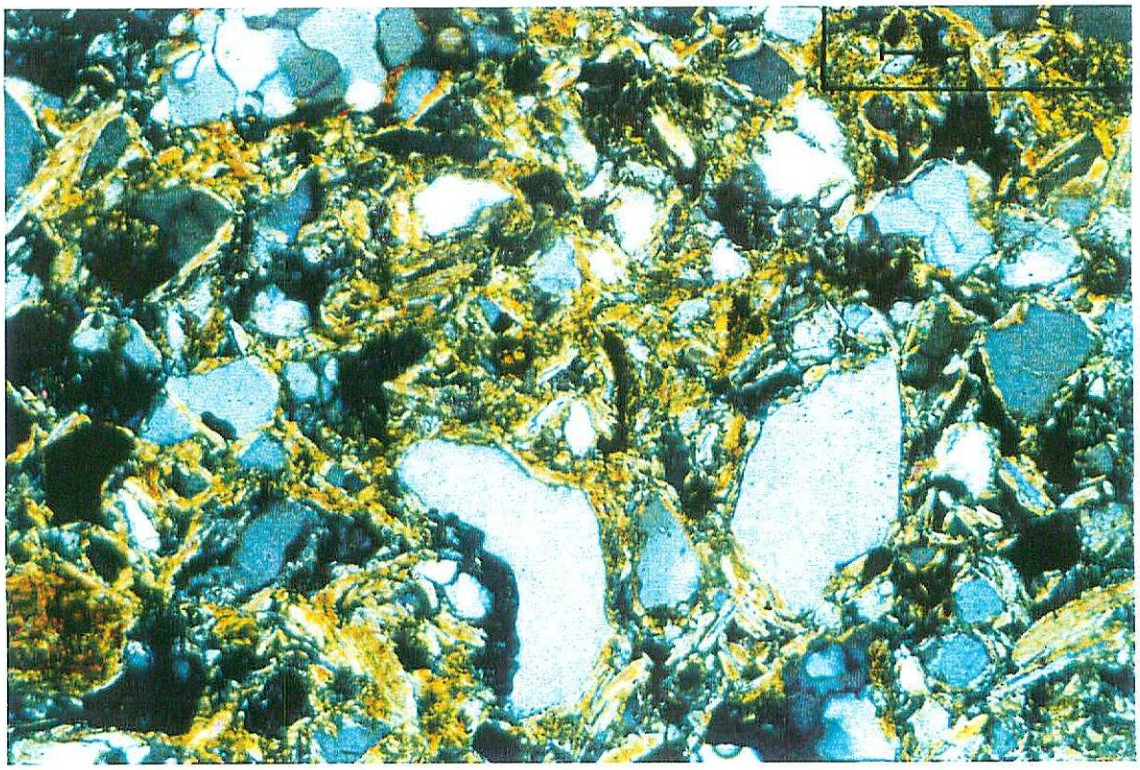


Foto 21

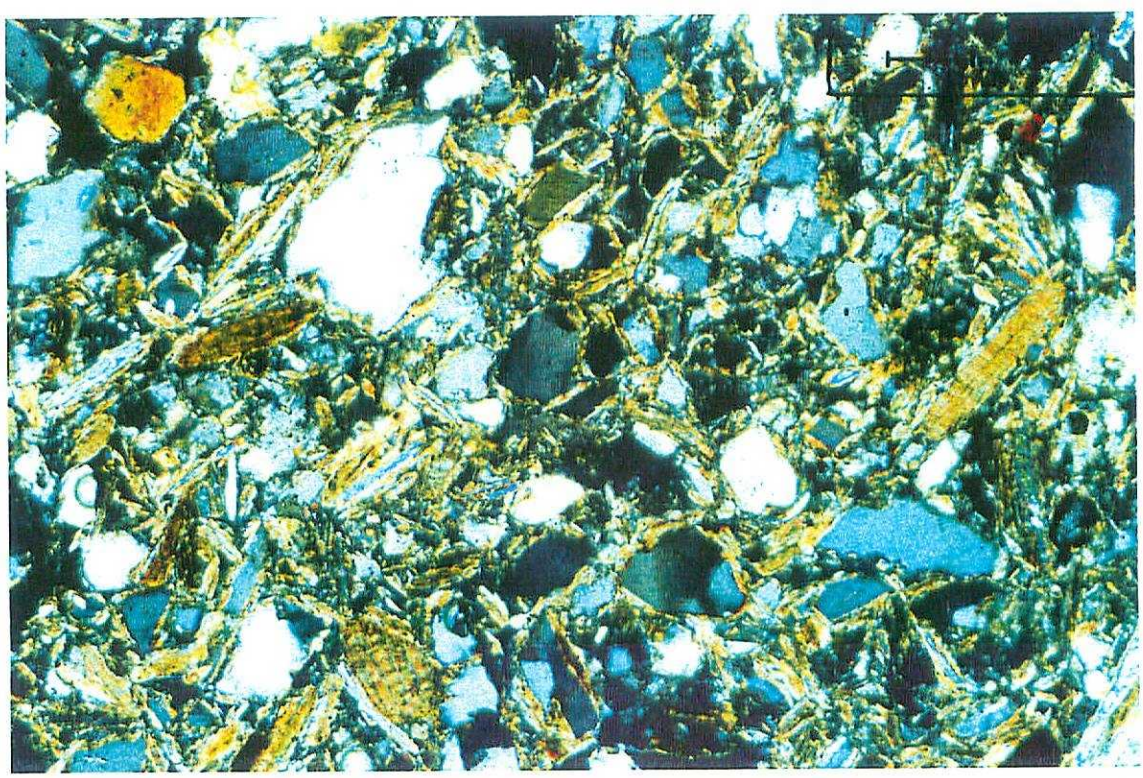


Foto 22

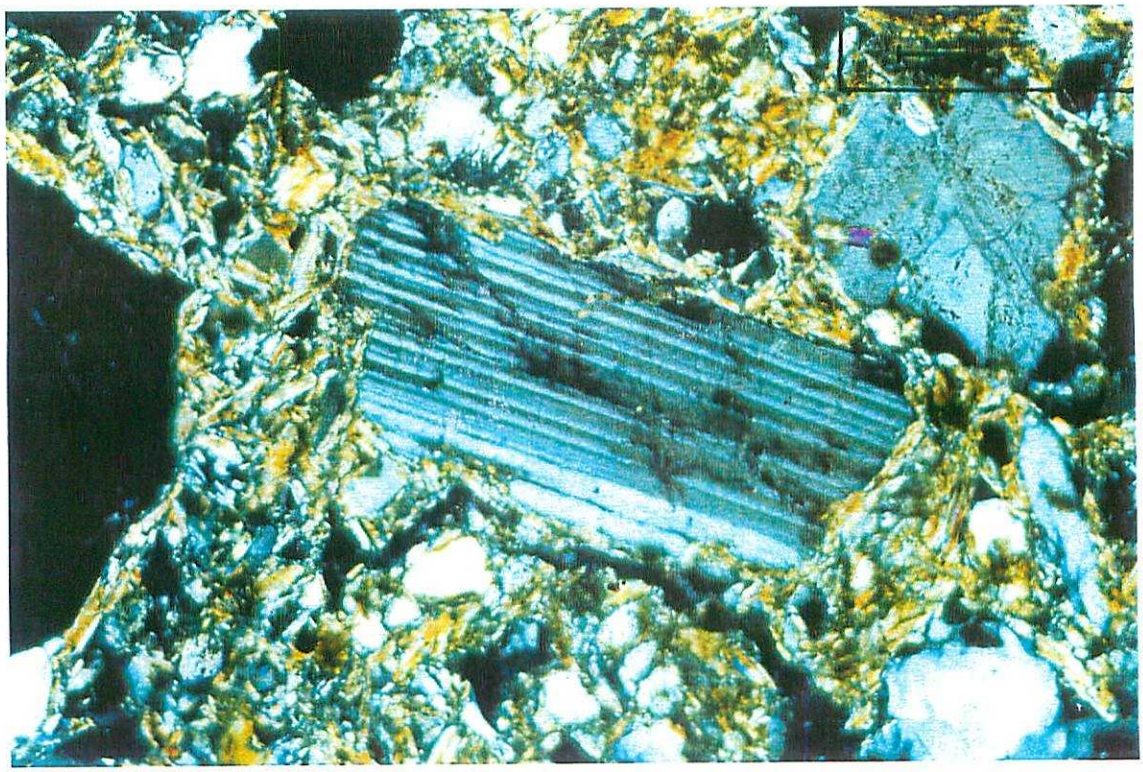


Foto 23

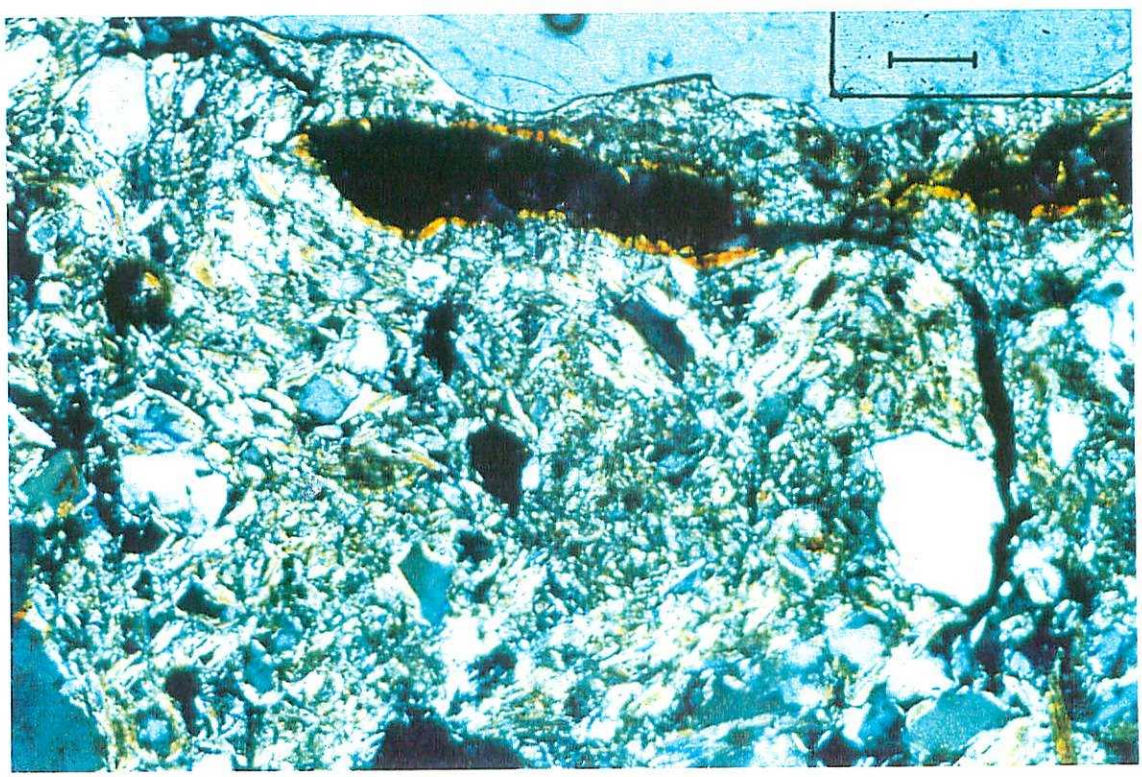


Foto 24

TERCIARIOS

Diapositiva 2- Afloramiento donde se realizó la columna estratigráfica de Cuatro Calzadas. 13:20-1-GA. Se observa la parte alta de la columna estratigráfica y la geometría de los depósitos.

4- Ciclo del Miembro Areniscas de Terradillos. Parte basal, los sedimentos se encuentran sueltos y el cemento silíceo está formando grumos en el sedimento. La fracción arcilla se presenta con muy poca potencia.

5- Ciclo del Miembro Areniscas de Terradillos. Techo de la unidad. Presenta un carácter granodecreciente y está constituido por gravas, arenas y fangos.

6- Organización del sedimento en el ciclo superior del Miembro Areniscas de Terradillos. Aparecen constituyendo estratificaciones cruzadas curvas y en surco. Los clastos remarcan las laminaciones.

9- Ciclo granodecreciente general del Miembro Areniscas y Fangos de la Peña Celestina. Los ciclos están separados por superficies erosivas de escaso relieve y se hallan cementados por sílice.

10- Textura de las fracciones finas (fangos) del techo del ciclo general del Miembro Areniscas y Fangos de la Peña Celestina.

11- Estructuras orgánicas ubicadas en los fangos del ciclo general del Miembro Areniscas y Fangos de la Peña Celestina. Las estructuras se remarcan por los cambios de color existentes en el sedimento.

12- Detalle de las estructuras orgánicas existentes en el techo del ciclo general del Miembro Areniscas y Fangos de la Peña Celestina.

13- Bioturbación y rizocreciones presentes en el término fino del ciclo general.

15- Textura de los suelos silicimorfos existentes en el Miembro Areniscas y Fangos de la Peña Celestina.

18- Afloramiento de Sierro de Arriba. Se aprecia el sustrato paleozoico sobre el que descansan discordantemente los sedimentos terciarios de color rojo.

20- Ciclo característico del Tramo Basal de la columna estratigráfica de Sierro de Arriba. Son ciclos granodecrecientes que comienzan con gravas y terminan con fangos. Todas las litologías son de color rojo.

21- Textura que presenta la parte inferior del ciclo caracterísitico del Tramo. Basal de la columna estratigráfica de Sierro de Arriba. Los clastos se hallan dispersos en una matriz arcillo-arenosa.

22- Composición litológica de los clastos: cuarcita, cuarzo, esquisto y areniscas. El centil puede llegar a alacanzar los 70 cms. No existe ordenación aparente y pueden ser considerados masivos.

27- Base del afloramiento de El Fraile, lugar donde se comenzó la columna estratigráfica, 13:20-03. Ciclo Basal: Areniscas conglomeráticas con clastos formando hiladas.

28- Techo del afloramiento de El Fraile, lugar donde se terminó la columna estratigráfica, 13.20-03.

36- Afloramiento donde se realizó la columna estratigráfica de Fresno Alhándiga, 13.20-6-GA.

40- Composición y textura del sedimento del Tramo Basal de la columna estratigráfica de Fresno Alhándiga, 13.20-6-GA.

43- Organización de los depósitos del Tramo Medio de la columna estratigráfica de Fresno Alhándiga. Estratificaciones cruzadas en surco y curvas.

46- Textura de los depósitos del Tramo Superior de la columna estratigráfica de Fresno Alhándiga. Se aprecian estratificaciones cruzada curvas y parches de enrojecimiento del sedimento.

49- Afloramiento donde se realizó la columna estratigráfica del Rio Alhándiga I. Obsérvese el contacto erosivo entre el Tramo arcósico y los conglomerados rojos-ocres situados en el techo y las irregularidades del contacto.

52- Textura del sedimento del Tramo Basal de la columna estratigráfica del Rio Alhándiga I. Color, tamaño de grano y ordenación de los clastos.

53- Textura del sedimento del Tramo Basal de la columna estratigráfica del Río Alhándiga. Parches de color amarillento, hidromorfismos.

55- Afloramiento del Rio Alhándiga I. Contacto erosivo entre el Tramo arcósico anaranjado y los conglomerados ocres superiores.

57- Conglomerados ocres-rojizo. Relleno de las depresiones realizadas en las arcosas anaranjadas del Tramo Medio.

59- Textura de las arcosas del Tramo Basal de la columna estratigráfica del Rio Alhándiga II. 13.20-9-GA.

61- Textura de las arcosas rojizas con un alto contenido en matriz arcillosa la cual dispersa los clastos impidiendo que éstos estén en contacto.

62- Aspecto de los conglomerados ocres del techo de la columna estratigráfica del Rio Alhándiga II, 13.20-9-GA.

63- Conglomerados ocres de la columna estratigráfica del Rio Alhándiga II. Textura, centil y naturaleza de los clastos, cuarcítica y cuarzosa, pueden estar en contacto, son redondeados y de aristas romas presentando formas cilíndricas o esféricas y matriz es arenosa.

66- Ciclo arcósico de la columna estratigráfica de la Cuesta Alta. Textura de la fracción arena, litología y superficie erosiva de escaso relieve separando dos ciclos.

67- Textura de los limos arenosos del Tramo Basal de la columna estratigráfica de la Cuesta Alta.

68- Textura de la fracción grava y naturaleza de los clastos cuando estos están jalonando la superfice erosiva basal.

69- Ciclo arcósico general del Tramo Basal de la columna estratigráfica de La Cuesta Alta. Limos arenosos, superficie erosiva y arenas con estratificación cruzada curva.

74- Conglomerados rojo-ladrillo ubicados al techo de la columna estratigráfica de la Cuesta Alta. Características litológicas, texturales y centil.

75- Conglomerados rojo-ladrillo ubicados al techo de la columna estratigráfica de la Cuesta Alta. Los castos de cuarzo y cuarcita se hallan en contacto presentando una cierta imbricación o masivos.

76- Conglomerados rojo-ladrillo ubicados al techo de la columna estratigráfica de la Cuesta Alta. Los clastos de cuarzo y cuarcita se hallam empastados en una matriz arcillosa, la cual impide que estén en contacto.

78- Escarpes donde se realizaron las columnas estratigráficas del Ejeme I y II.

79- Afloramiento donde se realizó la columna estratigráfica de Ejeme I, 13.20-13-GA.

82- Textura y naturaleza de los clastos que se hallan dispersos en los sedimentos acósicos de la parte inferior del Tramo Basal de la columna estrtigráfica de Ejeme I.

83- Textura y composición de los depósitos de la parte inferior del Tramo Basal de la columna estratigráfica de Ejeme I.

85- Tramo Superior de la columna estratigráfica de Ejeme I. Areniscas conglomeráticas rojas con clastos dispersos y con estrtificaciones cruzadas curvas.

86- Contacto erosivo entre los limos verdes arcósicos del Tramo Basal y las arenas conglomeráticas del Tramo Superior de la columna estratigráfica de Ejeme I.

87- Contacto erosivo entre los Tramos Basal y Superior de la columna estraitgráfica de Ejeme I, remarcado por concentraciones de clastos.

91- Afloramiento donde se realizó la columna estratigráfica de la Margen derecha del Rio Tormes, 13.20-15-GA.

93- Afloramiento de la Dehesa de Velayos donde se construyó la columna estratigráfica 13.20-16-GA.

95- Ciclo arcósico de la columna estratigráfica de la Dehesa de Velayos. Se aprecia de muro a techo: limos arenosos con enrojecimientos, superficie erosiva y arenas conglomeráticas.

96- Características litológicas de los ciclos arcósicos de la base de la columna estratigráfica de la Dehesa de Velayos. Textura de las arenas conglomeráticas y organización del sedimento.

97- Características de los ciclos arcósicos de la base de la columna estratigráfica de la Dehesa de Velayos. Textura de los limos arenosos con enrojecimientos.

98- Contacto erosivo entre dos ciclos arcósicos. La superficie es de escaso relieve.

101- Textura de la fracción arena del ciclo general de la columna estratigráfica de la Dehesa de Velayos. Los clastos se concentran en la base del ciclo y, a veces, forman hiladas.

102- Hidromorfismos en la fracción arena en las arcosas del ciclo general de la columna estratigráfica de la Dehesa de Velayos.

103- Textura de la fracción limo del techo del ciclo arcósico de la columna estratigráfica de la Dehesa de Velayos. Lo más característico es su color verde y la rotura que presentan.

104- Textura del ciclo arcósico, techo de la columna estratigráfica de la Dehesa de Velayos.

105- Ciclo arcósico anaranjado-rojizo, techo de la columna estratigráfica de la Dehesa de los Velayos.

106- Contacto erosivo entre el Tramo arcósico y el conglomerado de la terraza actual del rio Tormes. Los clastos del conglomerado rellenan las depresiones siempre de forma organizada y nunca masivos.

107- Conglomerados Rojos de la columna estratigráfica de la Alquería de Velayos. Aspectos litológicos, textura y potencia en el campo.

108- Aspecto de campo del zócalo paleozoico sobre el que reposan los sedimentos terciarios de la columna estratigráfica de la Alquería de Velayos.

109- Alteración del sustrato paleozoico de la columna estratigráfica de la Alquería de Velayos.

110- Detalle de la alteración del sustrato de la columna estratigráfica de Velayos siguiendo los planos de estratificación o de deformación tectónica.

113- Arcosas anaranjadas-rojas de la columna estratigráfica de Valhondo. Carácter granodecreciente, textura, color y superficie erosiva de escaso relieve separando los ciclos.

117- Escarpes de La Maya donde se realizó la columna estratigráfica de La Maya, 13-20-20-GA.

118- Escarpes de La Maya. Tramos Arcósico Blanco y Rojizo de la columna estratigráfica de La Maya.

120- Ciclo arcósico general del Tramo Basal de la columna estratigiráfica de La Maya, 13.20-20-GA. Aspecto de campo: textura, color y estructuras sedimetnarias tractivas.

125- Contacto erosivo entre el Tramo Medio y el Superior de la columna estratigráfica de La Maya. Se aprecia la organización de los depósitos conglomeráticos y su litología.

126- Contacto erosivo entre el Tramo Medio y Superior de la columna estratigráfica de La Maya. Textura, estratificaciones cruzadas, potencia y centil de los conglomerados.

129- Escarpes del rio Alhándiga. Esta panorámica ha sido tomada desde la dehesa de Velayos. Se aprecia una continuidad lateral de los escarpes paralela a la carretera nacional N-620 y puede observarse la relación espacial entre ellos.

130- Afloramiento de La Cuesta Quemada. Se observa el contacto mecánico entre las unidades paleozoicas (esquisto-grauváquico) y las terciarias silíceas (Formación Areniscas de Salamanca) y discordantes sobre ellas los conglomerados rojos. Se aprecia la inclinación del Terciario y el choque de estas Unidades contra la falla.

131- Afloramiento de La Cuesta Quemada. Se observa el contacto discordante entre las unidades paleozoicas (esquisto-grauváquico) y las terciarias arcósicas y discordantes sobre ellas los conglomerados rojos. Se aprecia la brusca inclinación del Terciario al adaptarse al paleorrelieve.

132- Afloramiento de La Cuesta Quemada. Se observa el Tramo Superior conglomerático rojo: Textura, organización, rasgos litológicos más sobresalientes y estructura sedimentarias primaria y diagenéticas.

135- Columna estratigráfica de La Cuesta Quemada Noroeste. Formación Areniscas de Salamanca. Aspecto de cmapo: Textura, litología y color.

136- Columna estratigráfica de La Cuesta Quemada Noroeste. Formación Areniscas de Salamanca. Ciclos granodecrecientes separados por superficies eorisvas de escaso relieve. El ciclo comienza con arenas de grano muy grueso con clastos de cuarzo y cuarcita y temrina con arenas de grna fino. Todo el ciclo se halla cementado por sílice.

137- Columna estratigráfica de La Cuesta Quemada Noroeste. Formación Areniscas de Salamanca. Textura y clastos metamórficos.

141- Aspecto de campo del último ciclo de la columna estratigráfica de La Cuesta Quemada Noroeste. Se aprecia: Hiladas de los clastos entre niveles de arenas media y termina con fangos Color y estructuras sedimentarias primarias.

143- Ordenación de clastos en el último ciclo del Tramo Superior de la columna estratigráfica de La Cuesta Quemada Noroeste.

144- Estratificaciones curzadas curvas y en surco de los conglomerados y arenas del último ciclo del Tramo Superior de la columna estratigráfica de la Cuesta Quemada Noroeste.

146- Techo de un ciclo compuesto del Tramo inferior de la columna estratigráfica de la Cuesta Quemada Noroeste. Los fangos con carbonatados y se hallan en un avanzado estadio de carbonatación (caliches). El proceso no es único al observarse tres planos de estratificación que rompen la continuidad vertical del estrato.

147- Sección estratigráfica de La Cuesta Quemada Sureste. El sustrato está constituido por pizarras alteradas del Paleozoico y los depósitos terciarios están representados por arcosas de color blanco.

148- Arcosas blancas de la columna estratigráfica de la Cuesta Quemada Sureste. La fuerte inclinación que presentan se debe a la pendiente del paleorrelieve y no a la existencia de una fractura.

149- Arcosas blancas de la columna estratigráfica de La Cuesta Quemada Sureste. Atributos litológicos (color, centil, etc.), textura y estructuras sedimetnarias).









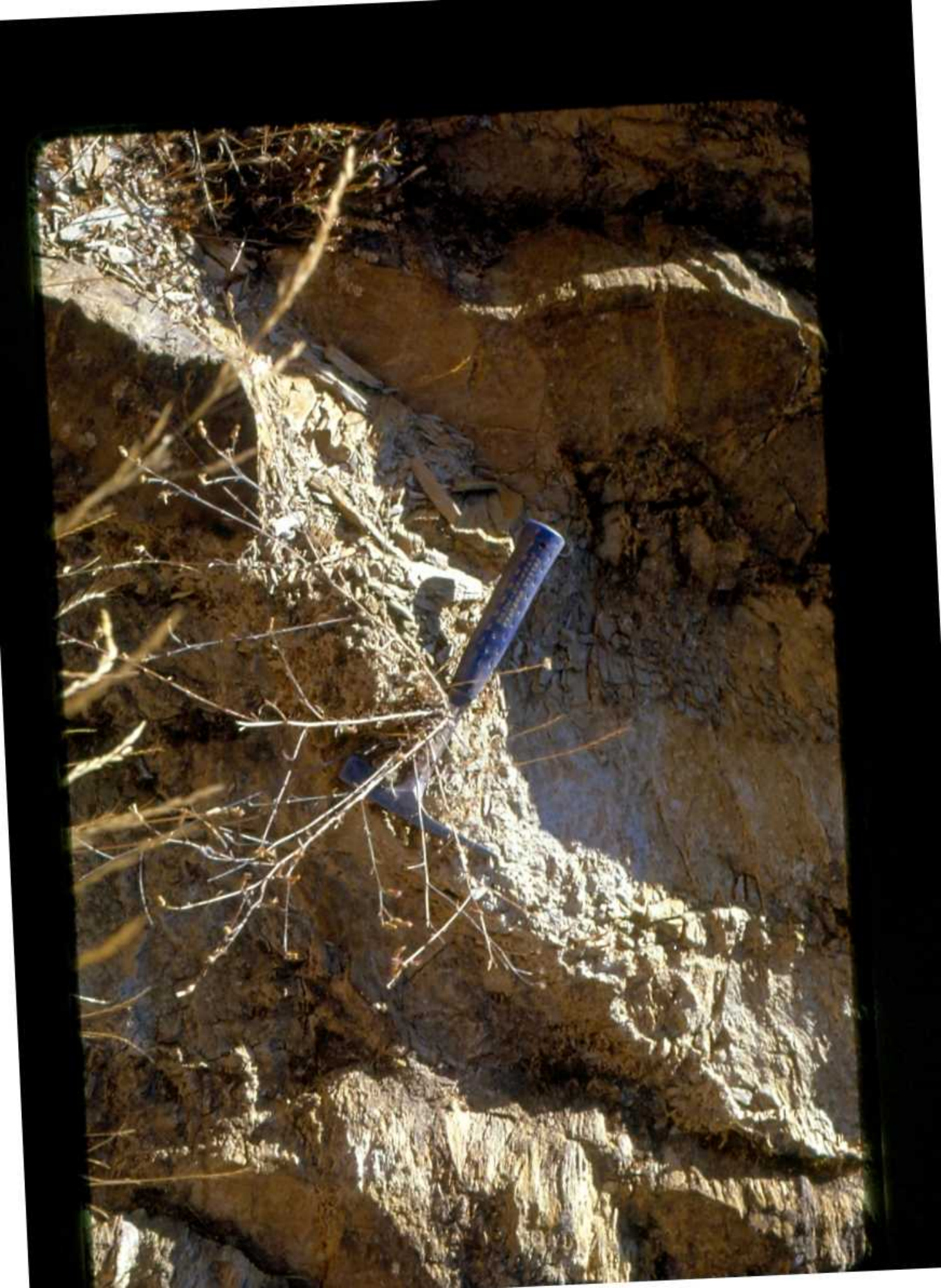













Nikon

Nikon








NIKON









NIKO









WARNING-WEAR
SAFETY GOGGLES


















Nikon



































































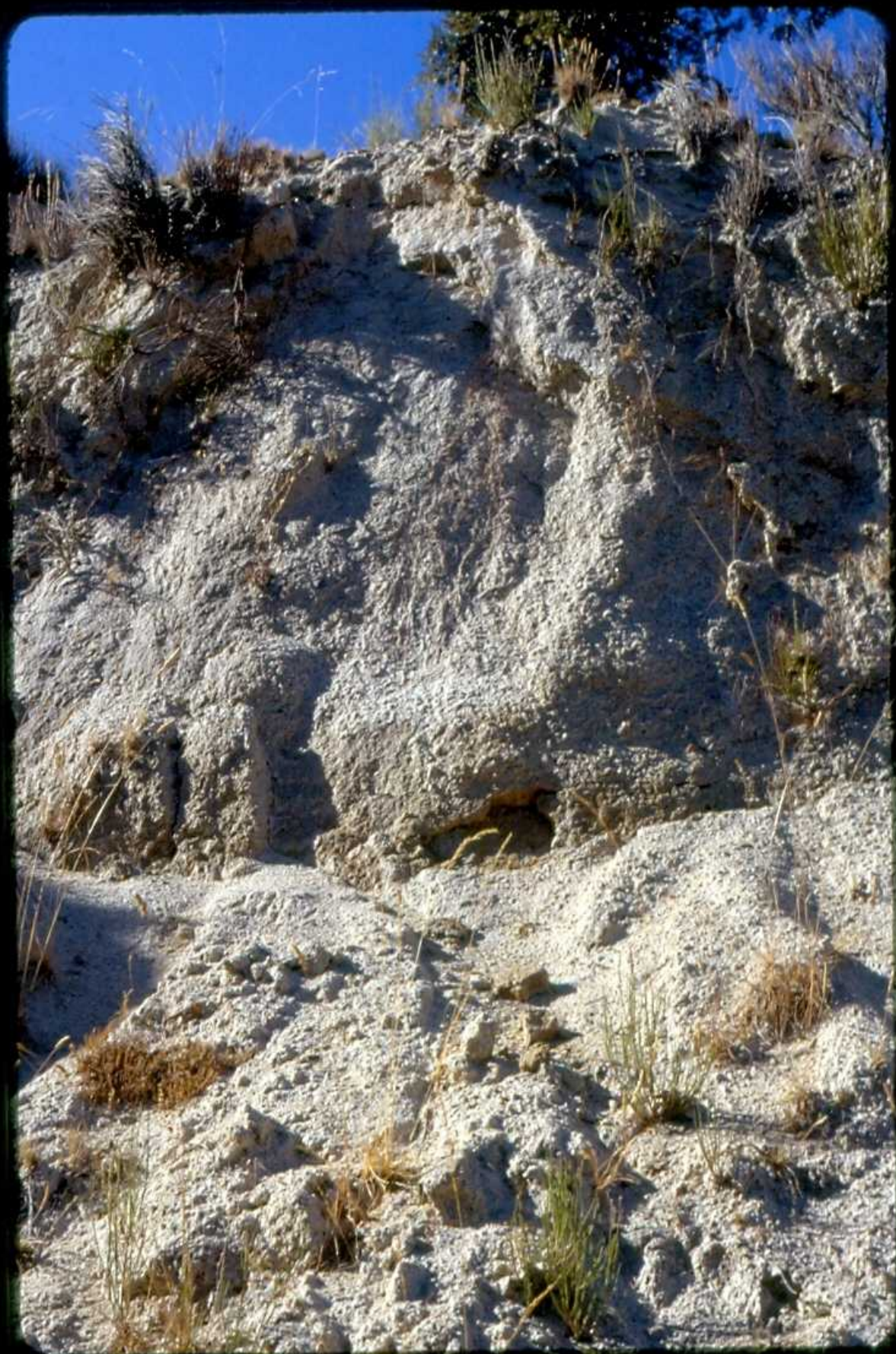














Primera

Estwing























